



Gutachten zur Standorteignung von WEA am Standort Sondershausen Großberndten, Variante B

Referenz-Nummer:

F2E-2018-TGO-024, Rev. 3 - ungekürzte Fassung

Auftraggeber:

Stadt Sondershausen Fachbereich Bau & Ordnung
Markt 7, 99706 Sondershausen

Die Ausarbeitung des Gutachtens erfolgte durch:

Fluid & Energy Engineering GmbH & Co. KG
Borsteler Chaussee 178, 22453 Hamburg, www.f2e.de

Verfasser:

Dipl.-Ing. (FH) Silva Mäusling, Sachverständige, Hamburg, 20.02.2019

Geprüft:

Dipl.-Ing. Steffen Wussow, Sachverständiger, Hamburg, 20.02.2019

Für weitere Auskünfte:

Tel.: 040 53303680-0

Fax: 040 53303680-79

Silva Mäusling: maeusling@f2e.de oder Steffen Wussow: wussow@f2e.de

Urheber- und Nutzungsrecht:

Urheber des Gutachtens ist die Fluid & Energy Engineering GmbH & Co. KG. Der Auftraggeber erwirbt ein einfaches Nutzungsrecht entsprechend dem Gesetz über Urheberrecht und verwandte Schutzrechte (UrhG). Das Nutzungsrecht kann nur mit Zustimmung des Urhebers übertragen werden. Eine Veröffentlichung und Bereitstellung der ungekürzten Fassung des Gutachtens zum uneingeschränkten Download in elektronischen Medien sind verboten. Eine Einsichtnahme der gekürzten Fassung des Gutachtens gemäß UVPG §23 (2) über die zentralen Internetportale von Bund und Ländern gemäß UVPG §20 Absatz (1) wird gestattet.



Inhaltsverzeichnis

1 Aufgabenstellung.....	3
2 Grundlagen.....	4
2.1 Nachweis durch Vergleich der Windbedingungen.....	4
2.2 Nachweis durch Vergleich der Lasten.....	10
2.3 Auslegungswerte.....	11
2.3.1 Turbulenzintensität.....	11
2.3.2 Windgeschwindigkeit.....	11
2.3.3 Weitere Windbedingungen.....	12
2.4 Erläuterungen zu den verwendeten Methoden.....	12
2.4.1 Bestimmung der Komplexität.....	12
2.4.2 Bestimmung der Umgebungsturbulenzintensität.....	13
2.4.3 Bestimmung der effektiven Turbulenzintensitäten.....	14
2.4.4 Bestimmung der Extremwerte der Turbulenzintensitäten.....	16
2.4.5 Bestimmung der Luftdichte.....	16
2.4.6 Bestimmung des Höhenexponenten.....	16
2.4.7 Bestimmung der Schräganströmung.....	17
2.4.8 Extrapolation der Winddaten.....	17
2.5 Gültigkeit der Ergebnisse.....	18
2.5.1 Betriebsbeschränkungen.....	19
3 Eingangsdaten.....	20
3.1 Windparkkonfiguration und Auslegungswerte.....	20
3.2 Windgeschwindigkeitsverteilung am Standort.....	22
3.3 Extremwind am Standort.....	22
3.4 Umgebungsturbulenzintensität am Standort.....	22
3.5 Sektorielle Betriebsbeschränkungen.....	22
4 Bestimmung der Standortbedingungen.....	22
4.1 Standortbesichtigung.....	22
4.2 Ergebnisse Standortbedingungen.....	23
4.2.1 10-min-Mittelwert der Windgeschwindigkeit auf Nabenhöhe mit einem Wiederkehrzeitraum von 50 Jahren.....	23
5 Nachweis der Standorteignung.....	24
5.1 Allgemeine Hinweise.....	24
5.2 Nachweis der Standorteignung durch einen Vergleich der Windbedingungen.....	24
5.2.1 Betriebsbeschränkungen.....	25
5.2.2 Einschränkungen.....	26
5.3 Nachweis der Standorteignung durch einen Vergleich der Lasten.....	26
6 Zusammenfassung.....	27
7 Literaturangaben.....	29
Anhang: wake2e-Bericht, Projektname Sondershausen Großberndten	A.1



1 Aufgabenstellung

Die Fluid & Energy Engineering GmbH & Co. KG ist beauftragt worden, Windenergieanlagen (WEA) hinsichtlich ihrer Standorteignung gemäß Kapitel 16 (Standorteignung von Windenergieanlagen) der DIBt-Richtlinie für Windenergieanlagen von 2012 /2.8/ zu betrachten und zu bewerten.

Voraussetzung für einen Nachweis der Standorteignung ist gemäß /2.8/ das Vorliegen einer gültigen Typenprüfung bzw. Einzelprüfung für die WEA. Im Folgenden ist die Möglichkeit der Einzelprüfung stets eingeschlossen, wenn von Typenprüfung gesprochen wird, auch wenn dies nicht explizit erwähnt wird.

Der Nachweis der Standorteignung der WEA erfolgt entweder durch einen Vergleich der am jeweiligen Standort der WEA herrschenden Windbedingungen mit den Windbedingungen, die der Typenprüfung zugrunde liegen, oder durch einen Vergleich der standortspezifischen Lasten mit den Lasten, die der Typenprüfung zugrunde liegen (siehe auch Kapitel 2).

Die Windbedingungen sind in den jeweiligen DIBt-Richtlinien /2.6, 2.7, 2.8/ festgelegt und Bestandteil der Typenprüfung einer WEA. Auf Basis dieser Windbedingungen und der daraus resultierenden Lasten garantiert eine Typenprüfung nach /2.6, 2.7, 2.8/ eine Entwurfslebensdauer der WEA von mindestens 20 Jahren.

Aufgrund fehlender Kriterien für einen Immissionsgrenzwert für die durch Nachbar-WEA erhöhte Turbulenzbelastung einer WEA können ersatzweise die Kriterien der Standorteignung für eine Turbulenzimmissionsprognose im Rahmen eines BImSchG-Antrages herangezogen werden. Es wird dabei davon ausgegangen, dass die Reduktion der Lebenszeit und der zusätzliche Verschleiß der WEA zumutbar sind, solange die Standorteignung hinsichtlich der Auslegungswerte der Turbulenzintensität oder hinsichtlich der Auslegungslasten gewährleistet bleibt.

Das vorliegende Gutachten zur Standorteignung ist daher gleichzeitig eine Turbulenz-Immissionsprognose im Sinne des BImSchG.



2 Grundlagen

WEA sind Umweltbedingungen und elektrischen Bedingungen ausgesetzt, die Belastung, Haltbarkeit und den Betrieb beeinflussen können. Die Umweltbedingungen werden in Wind- und andere Umweltbedingungen unterteilt. Für die Integrität der Konstruktion sind die Windbedingungen die primär zu berücksichtigenden Einflussfaktoren.

Der Nachweis der Standsicherheit von Turm und Gründung einer WEA wird in Form einer Typenprüfung nach der jeweils gültigen DIBt-Richtlinie /2.6, 2.7, 2.8/ geführt. Hierzu definieren die Richtlinien Windzonen in Abhängigkeit von Windgeschwindigkeit und Turbulenzparametern, welche die meisten Anwendungsfälle erfassen sollen, jedoch keinen spezifischen Standort einer WEA exakt abbilden. Auf Basis der Windbedingungen der Windzone werden anschließend die Lasten der WEA durch den Hersteller ermittelt.

Das vom Hersteller verwendete Modell zur Berechnung der Lasten und die Berechnungsergebnisse werden durch unabhängige Berechnungen im Rahmen der Typenprüfung durch eine akkreditierte Stelle geprüft und bestätigt.

Im konkreten Einzelfall der Errichtung einer WEA ist die Anwendbarkeit der Typenprüfung nachzuweisen. Dies kann auf zwei Wegen geschehen. Zum einen durch einen Vergleich der standortspezifischen Windbedingungen mit den Windbedingungen der Typenprüfung oder zum anderen durch einen Vergleich der standortspezifischen Lasten mit den Lasten der Typenprüfung. Im zweiten Fall dienen die standortspezifischen Windbedingungen als Eingangswerte für die Ermittlung der standortspezifischen Lasten. Das bedeutet insbesondere, dass kein neuer Standsicherheitsnachweis für Turm und Gründung geführt wird, sondern dass jeweils die Randbedingungen der Typenprüfung, also des bestehenden Standsicherheitsnachweises, überprüft werden.

Abbildung 2.1.1 gibt einen Überblick über das Prüfverfahren.

2.1 Nachweis durch Vergleich der Windbedingungen

Gemäß /2.2, 2.3/ sind für neu geplante WEA folgende Windbedingungen auf Nabenhöhe nachzuweisen:

- 10-min-Mittelwert der Windgeschwindigkeit auf Nabenhöhe mit einem Wiederkehrzeitraum von 50 Jahren v_{50} ,
- Windgeschwindigkeitsverteilung im Bereich von $0.2v_{ref} - 0.4v_{ref}$,
- Turbulenzintensität für Windgeschwindigkeiten von $0.2v_{ref} - 0.4v_{ref}$,

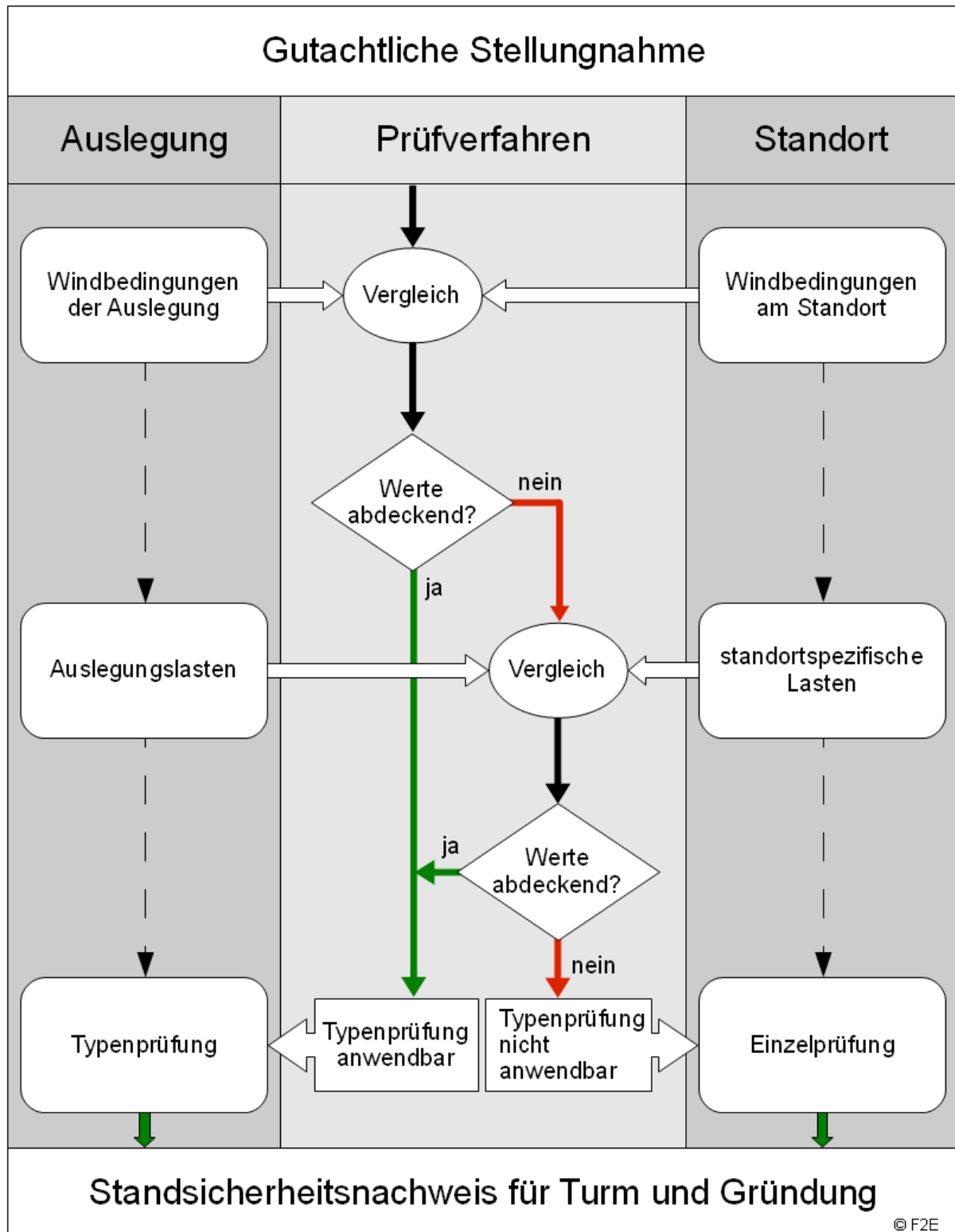


Abbildung 2.1.1: Schematische Darstellung des Prüfverfahrens.



- Extremwerte der Turbulenzintensität,
- Höhenexponent α des vertikalen Windgeschwindigkeitsprofils,
- mittlere Neigung der Anströmung,
- mittlere Luftdichte ρ für Windgeschwindigkeiten $\geq v_r$.

Überschreitungen der Extremwerte der Turbulenzintensität treten typischerweise stets mit Überschreitungen der Auslegungswerte der Turbulenzintensität auf. Für einen Nachweis durch einen Vergleich der Windbedingungen werden die Extremwerte der Turbulenzintensität daher nicht explizit ausgewiesen. Diese sind gegebenenfalls dann im Rahmen eines Nachweises durch einen Vergleich der Lasten (siehe Kapitel 2.2) zu berücksichtigen und werden daher in den Ergebnissen im Anhang aufgeführt.

Zusätzlich werden in /2.3/ Nachweise für Extremwerte des Windgradienten gefordert. Der Nachweis für Extremwerte des Windgradienten ist mit /2.4/ wieder entfallen und wird daher hier nicht berücksichtigt.

In /2.4/ wurde der Windgeschwindigkeitsbereich, für den die Windgeschwindigkeitsverteilung und die Turbulenzintensität nachgewiesen werden müssen, von $0.2v_{ref} - 0.4v_{ref}$ auf $v_{ave} - 2v_{ave}$ geändert. Dieser Windgeschwindigkeitsbereich kann daher im Einzelfall alternativ zugrunde gelegt werden. Werden abweichend von den in /2.2 - 2.4/ definierten Turbulenzkategorien individuelle Auslegungswerte der Turbulenzintensität definiert, kann es notwendig sein, den zu bewertenden Windgeschwindigkeitsbereich auf den gesamten Betriebsbereich der WEA auszudehnen.

Den Ermittlungen der Standortbedingungen ist nach /2.8/ dabei eine Standortbesichtigung zugrunde zu legen.

Alternativ zum oben genannten Nachweis nach /2.2, 2.3/ kann nach /2.8/ ein vereinfachtes Verfahren angewendet werden, wenn der jeweilige Standort der geplanten WEA nicht orografisch komplex gemäß der Definition in /2.2, 2.3/ ist. Nach dem vereinfachten Verfahren sind folgende Windbedingungen auf Nabenhöhe nachzuweisen:

- mittlere Jahreswindgeschwindigkeit auf Nabenhöhe,
- Turbulenzintensität für Windgeschwindigkeiten von $0.2 - 0.4v_{ref}$,
- 10-min-Mittelwert der Windgeschwindigkeit auf Nabenhöhe mit einem Wiederkehrzeitraum von 50 Jahren v_{50} (nur wenn die Windzone der Typenprüfung nicht die Windzone des jeweiligen Standortes der WEA abdeckt).

Nach /2.8/ muss dabei die mittlere Jahreswindgeschwindigkeit v_{ave} auf Nabenhöhe 5% kleiner sein als der Auslegungswert oder die mittlere Jahreswindgeschwindigkeit



v_{ave} auf Nabenhöhe muss kleiner gleich dem Auslegungswert und der Formparameter k der Weibull-Verteilung gleichzeitig größer gleich 2 sein.

Das vereinfachte Verfahren setzt an dieser Stelle voraus, dass der Auslegungswert des Formparameters der Weibullverteilung einen Wert von 2.0 aufweist. Bei abweichenden Auslegungswerten muss die Bewertung der mittleren Jahreswindgeschwindigkeit und des Formparameter k der Weibull-Verteilung über einen Vergleich der Häufigkeitsverteilung der Windgeschwindigkeit mit der Verteilung der Auslegung im Bereich von $0.2v_{ref}$ bis $0.4v_{ref}$ entsprechend /2.2, 2.3/ erfolgen.

Im Rahmen der Überarbeitung der internationalen Richtlinie /2.2, 2.3/ wurde ein Verfahren entwickelt, das die Bewertung der Häufigkeitsverteilung der Windgeschwindigkeit auf Basis der Parameter der entsprechenden Weibull-Verteilung ermöglicht /2.4/. Dieses Verfahren kann angewendet werden, wenn sich die standortspezifische Kurve der Häufigkeitsverteilung und die der Auslegung schneiden. Gemäß /2.4/ sind verschiedene Kombinationen des Formparameters k der Weibull-Verteilung und der normierten mittleren Windgeschwindigkeit auf Nabenhöhe möglich, die durch den schraffierten Bereich in Abbildung 2.1.2 dargestellt sind.

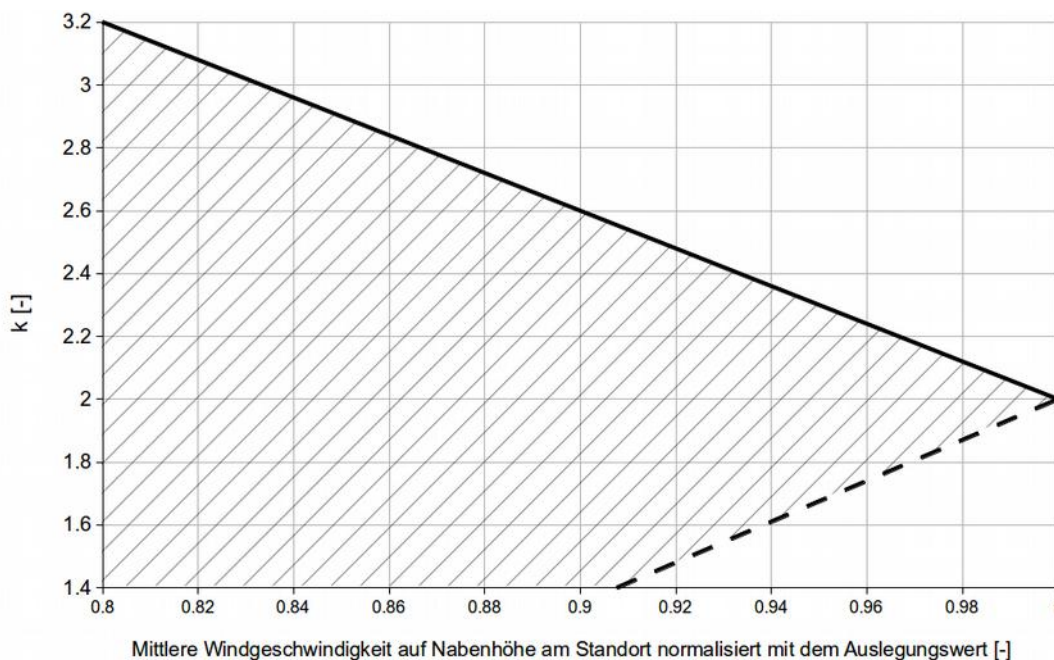


Abbildung 2.1.2: Mögliche Kombinationen von normierter Windgeschwindigkeit und Formparameter k der Weibull-Verteilung (schraffierter Bereich).



Für bestehende WEA, die nach den DIBt-Richtlinien von 1995 bzw. 2004 /2.6, 2.7/ errichtet wurden, darf der Nachweis der Standorteignung weiterhin nach dem in der DIBt-Richtlinie von 2004 /2.7/ genannten Verfahren erfolgen.

Gemäß /2.4/ kann bei Luftdichten, die die Auslegungswerte überschreiten, der Nachweis alternativ erbracht werden, indem gezeigt wird, dass folgende Bedingung erfüllt ist:

$$\rho_{Auslegung} \cdot (V_{ave, Auslegung})^2 \geq \rho_{Standort} \cdot (V_{ave, Standort})^2$$

Die Bedingung entspricht einem Vergleich des standortspezifischen, mittleren Geschwindigkeitsdrucks mit dem Wert der Auslegung.

Der nachzuweisenden Turbulenzintensität kommt insofern eine besondere Bedeutung zu, da die Turbulenzintensität die einzige Windbedingung ist, über die eine Bewertung des Einflusses der WEA untereinander erfolgt.

Dieser Einfluss ist nach DIBt-Richtlinie für Windenergieanlagen von 2012 /2.8/ zu berücksichtigen, wenn der auf den Rotordurchmesser D der jeweils größeren WEA bezogene Abstand zwischen zwei WEA für typische küstennahe Standorte kleiner gleich fünf und für typische Binnenstandorte kleiner gleich acht Rotordurchmesser beträgt /2.8/. Für größere Abstände braucht eine Beeinflussung der WEA untereinander nicht betrachtet zu werden. Im Folgenden wird dabei konservativ immer der größere Einflussbereich von 8D zugrunde gelegt.

Hieraus folgen unmittelbar die benachbarten WEA, für die eine Standorteignung im Rahmen des betrachteten Zubaus der geplanten WEA erneut nachzuweisen ist. Da es einen Einfluss der geplanten WEA auf diese benachbarten WEA nur in Form einer Erhöhung der Turbulenzintensität gibt, ist für benachbarte WEA unabhängig von der anzuwendenden DIBt-Richtlinie auch nur diese Windbedingung erneut zu überprüfen.

Abbildung 2.1.3 gibt einen Überblick über die jeweils nachzuweisenden Windbedingungen.

Liegt eine der oben aufgeführten für den Nachweis der Standorteignung erforderlichen Windbedingungen oberhalb des entsprechenden Auslegungswertes, der bei der jeweiligen Typenprüfung der WEA zugrunde gelegt wurde, ist ein Nachweis der Standorteignung der WEA durch einen Vergleich der Windbedingungen nicht möglich.

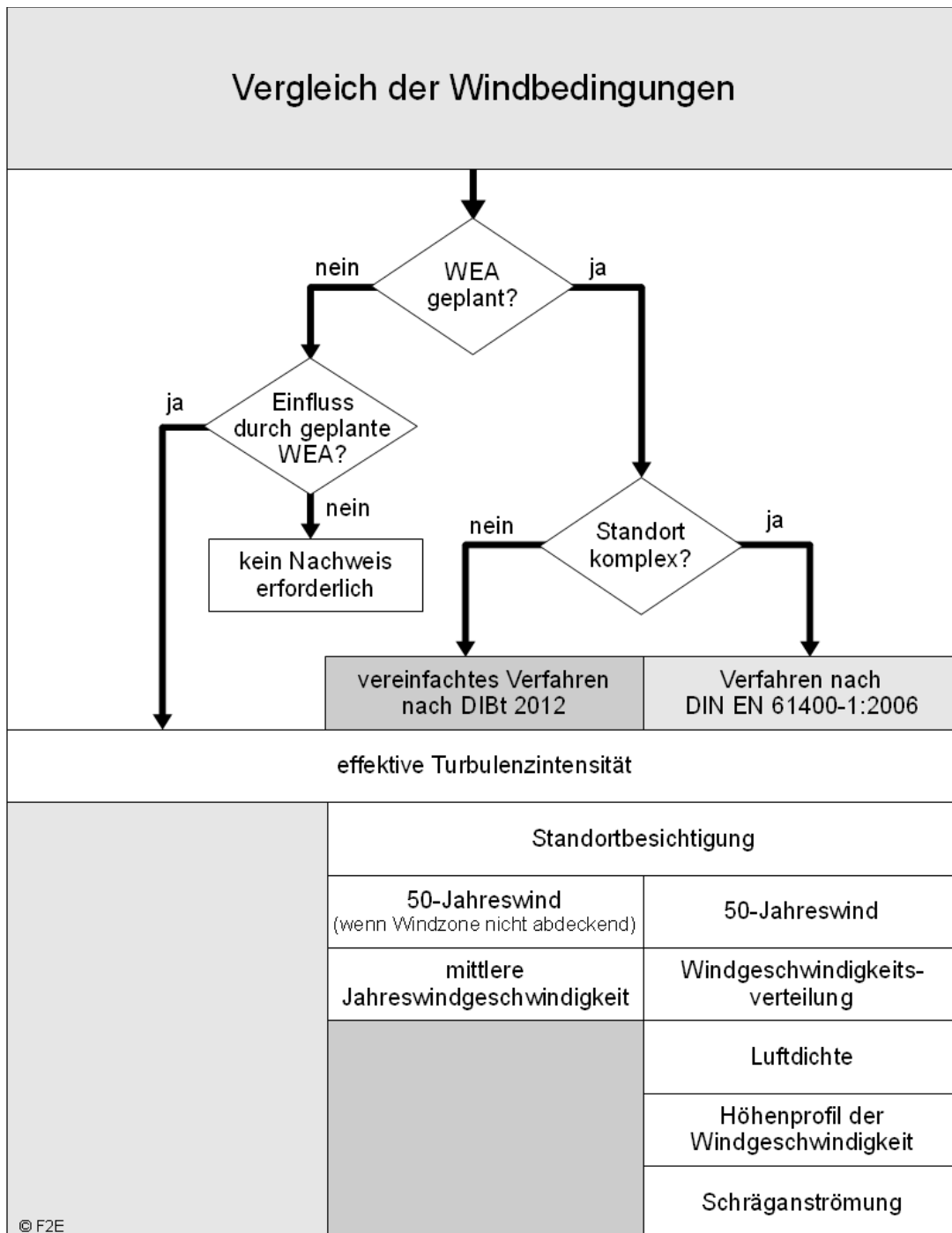


Abbildung 2.1.3: Nachweis durch Vergleich der Windbedingungen gemäß /2.8/.



2.2 Nachweis durch Vergleich der Lasten

Die entsprechend dem in Kapitel 2.1 beschriebenen Verfahren ermittelten Windbedingungen können als Eingangsparameter für einen standortspezifischen Nachweis durch einen Vergleich der Lasten verwendet werden.

Im Falle eines Windparks mit entsprechendem Einfluss von benachbarten WEA sind nach /2.2/ sowohl die Betriebs- als auch die Extremlasten nachzuweisen. Für die Betriebslasten sind gemäß /2.2, 2.3/ hierzu der Auslegungslastfall DLC 1.2 unter Berücksichtigung der effektiven Turbulenzintensität und für die Extremlasten die Auslegungslastfälle DLC 1.1 oder 1.3 sowie der DLC 1.5 nachzurechnen.

Alternativ hierzu kann nach /2.8/ ein vereinfachtes Verfahren angewendet werden, wenn der jeweilige Standort der geplanten WEA nicht orografisch komplex gemäß der Definition in /2.2, 2.3/ ist. Nach dem vereinfachten Verfahren sind folgende Lasten zu ermitteln:

- Betriebslasten, wenn die mittlere Windgeschwindigkeit oder die Turbulenzintensität überschritten sind.
- Extremlasten, wenn der 10-min-Mittelwert der Windgeschwindigkeit auf Nabenhöhe mit einem Wiederkehrzeitraum von 50 Jahren v_{ref} überschritten ist.

Eine solche standortspezifische, detaillierte Lastberechnung ist im Vergleich zu dem in Kapitel 2.1 dargestellten Nachweis durch einen Vergleich der Windbedingungen sehr aufwändig. Sie kann in der Regel nur vom jeweiligen Hersteller durchgeführt werden.

Diese standortspezifischen Lasten können mit den entsprechenden Auslegungslasten der Typenprüfung verglichen werden. Liegen die standortspezifischen Lasten unterhalb bzw. auf dem Niveau der Auslegungslasten, die bei der jeweiligen Typenprüfung der WEA zugrunde gelegt wurden, ist die Standorteignung der WEA gegeben.

Liegen die standortspezifischen Lasten oberhalb der Auslegungslasten, die bei der jeweiligen Typenprüfung der WEA zugrunde gelegt wurden, ist ein Nachweis der Standorteignung der WEA durch einen Vergleich der Lasten nicht möglich.

In diesem Fall kann die Typenprüfung der WEA nicht angewendet werden und ein Einzelnachweis durch den Hersteller ist erforderlich.

Bei Anlagenabständen unterhalb von 2.3 Rotordurchmesser sollten die ermittelten effektiven Turbulenzintensitäten nicht mehr ohne weiteres als Eingangsparameter für einen Vergleich der Lasten verwendet werden. Hier werden eventuell weitergehende detaillierte Modellberechnungen erforderlich.



Zwischen 2.3 und 2.5 Rotordurchmesser ist ein Vergleich der Lasten auf Basis effektiver Turbulenzintensitäten in vielen Fällen noch möglich. Im konkreten Einzelfall ist hier immer eine Überprüfung vor Erstellung eines entsprechenden Gutachtens notwendig.

Oberhalb von 2.5 Rotordurchmesser ist ein Vergleich der Lasten immer möglich.

2.3 Auslegungswerte

2.3.1 Turbulenzintensität

Die Auslegungswerte der Turbulenzintensität sind in den DIBt-Richtlinien von 1993/1995 /2.6/ und 2004 /2.7/ noch unabhängig von der Windzone definiert. Der Auslegungswert liegt gemäß DIBt-Richtlinie von 1993/1995 konstant bei 0.2 (20%). Die DIBt-Richtlinie von 2004 /2.7/ schreibt die Turbulenzkategorie A nach /2.1/ vor.

In der DIBt-Richtlinie für Windenergieanlagen von 2012 /2.8/ wird die Turbulenzkategorie A nach DIN EN 61400-1:2006 /2.2/ nur noch empfohlen. Grundsätzlich können auch andere Auslegungswerte der Turbulenzintensität zugrunde gelegt werden. In vielen Fällen finden hier die in den internationalen Richtlinien /2.2, 2.3, 2.4/ definierten Turbulenzkategorien Anwendung.

2.3.2 Windgeschwindigkeit

Die Typenprüfung nach DIBt-Richtlinie für Windenergieanlagen von 2012 /2.8/ erfolgt für eine bestimmte Windzone. Abhängig von der Windzone ist sowohl der Auslegungswert des 10-min-Mittelwertes der Windgeschwindigkeit auf Nabenhöhe mit einem Wiederkehrzeitraum von 50 Jahren v_{ref} als auch die mittlere Jahreswindgeschwindigkeit auf Nabenhöhe v_{ave} definiert. Diese Werte sind abhängig von der Nabenhöhe und unterscheiden sich in den einzelnen Windzonen. Der 10-min-Mittelwert der Windgeschwindigkeit auf Nabenhöhe mit einem Wiederkehrzeitraum von 50 Jahren v_{ref} kann weiterhin entweder gemäß /2.9/ oder nach einer vereinfachten Formel gemäß /2.8/ bestimmt werden. Die Auslegungswerte sind daher der individuellen Typenprüfung der WEA zu entnehmen und können nicht allgemeingültig angegeben werden. Die Windgeschwindigkeitsverteilung ergibt sich in allen Fällen aus der mittleren Jahreswindgeschwindigkeit auf Nabenhöhe unter Verwendung einer Rayleigh-Verteilung.

Nach den DIBt-Richtlinien /2.6, 2.7, 2.8/ werden die Auslegungswerte der Windgeschwindigkeit in die Windzonen 1 bis 4 bzw. I bis IV unterteilt, wobei die Windzone 4 oder IV die höchsten Auslegungswerte aufweist. In der zitierten Literatur werden hier sowohl arabische als auch römische Zahlen verwendet.



2.3.3 Weitere Windbedingungen

Den nach /2.2, 2.3/ zusätzlich nachzuweisenden Windbedingungen liegen im allgemeinen nach den DIBt-Richtlinien /2.7, 2.8/ folgende Auslegungswerte zugrunde:

- Höhenexponent des vertikalen Windgeschwindigkeitsprofils: $\alpha = 0.2$,
- mittlere Neigung der Anströmung: 8° ,
- mittlere Luftdichte: $\rho = 1.225 \text{ kg/m}^3$.

2.4 Erläuterungen zu den verwendeten Methoden

Kommen im Einzelfall andere Berechnungsmethoden oder Eingangsdaten zur Anwendung als hier aufgeführt wird dies in Kapitel 4 entsprechend dargestellt.

2.4.1 Bestimmung der Komplexität

Große Geländesteigungen und Höhenunterschiede können zu erhöhten Umgebungsturbulenzintensitäten führen und müssen daher in orografisch komplexem Gelände bewertet werden. Der Einfluss der Geländeorografie kann nach /2.2, 2.3/ durch einen Turbulenzstrukturparameter erfasst werden, der als Faktor auf die Turbulenzintensität wirkt. Nach /2.2/ kann ein richtungsunabhängiger Turbulenzstrukturparameter definiert werden, der abhängig vom Anteil des Windes aus orografisch komplexen Richtungssektoren zwischen 1.0 und 1.15 liegt. Da im Folgenden die Umgebungsturbulenzintensitäten richtungsabhängig bestimmt werden, wird abweichend hiervon der Turbulenzstrukturparameter ebenfalls richtungsabhängig bestimmt. Dabei wird jedem Richtungssektor, der als orografisch komplex einzustufen ist, der maximale Turbulenzstrukturparameter von 1.15 zugeordnet.

Die Bewertung der orografischen Komplexität einer Koordinate erfolgt auf Basis von Geländesteigungen und Geländedifferenzen zu einer Ausgleichsebene, die durch die jeweilige zu betrachtende Koordinate gelegt wird. Die Ausgleichsebenen werden mit der Methode der kleinsten Fehlerquadrate durch die Höhendaten gelegt. Die Bewertung erfolgt entsprechend /2.2/ auf Nabenhöhe der WEA.

Entsprechend /2.2/ sind für jede WEA 25 Ausgleichsebenen zu ermitteln (siehe Tabelle 2.4.1.1). Wird eines der in Tabelle 2.4.1.1 genannten Kriterien überschritten, so ist der betreffende Sektor als komplex anzusehen. Der jeweilige Standort der WEA ist komplex, wenn mehr als 15% der im Wind enthaltenen Energie aus komplexen Sektoren kommt.



Tabelle 2.4.1.1: Komplexitätskriterien /2.3/.

Ausgleichsebenen		Komplexitätskriterien	
Radius	Azimut Winkel	Maximale Steigung	Maximale Geländedifferenz
$5 \cdot z_{\text{hub}}$	ein Sektor á 360°	10°	$0.3 \cdot z_{\text{hub}}$
$10 \cdot z_{\text{hub}}$	zwölf Sektoren á 30°		$0.6 \cdot z_{\text{hub}}$
$20 \cdot z_{\text{hub}}$	zwölf Sektoren á 30°		$1.2 \cdot z_{\text{hub}}$

2.4.2 Bestimmung der Umgebungsturbulenzintensität

Die Turbulenzintensität ist definiert als das Verhältnis der Standardabweichung der zeitlichen Windgeschwindigkeitsverteilung zu ihrem Mittelwert bezogen auf ein Intervall von 600s. Die Umgebungsturbulenzintensität beschreibt dabei ausschließlich die Turbulenz der freien Strömung ohne den Einfluss von WEA.

Für die spätere Berechnung der effektiven Turbulenzintensität ist nicht die mittlere Umgebungsturbulenzintensität sondern abhängig von der Auslegung der jeweiligen WEA die charakteristische Turbulenzintensität (DIBt 1993/95, DIBt 2004 und IEC 61400-1 Edition 2) bzw. die repräsentative Turbulenzintensität (DIBt 2012, IEC 61400-1 Edition 3) zugrunde zu legen. Die charakteristische Turbulenzintensität ergibt sich aus der Addition der mittleren Umgebungsturbulenzintensität und der einfachen Standardabweichung der Umgebungsturbulenzintensität. Die repräsentative Turbulenzintensität ergibt sich aus der Addition der mittleren Umgebungsturbulenzintensität und der 1.28fachen Standardabweichung der Umgebungsturbulenzintensität.

Wenn keine ausreichenden Messdaten zur Turbulenzintensität am Standort vorliegen, wird die mittlere langfristig zu erwartende Umgebungsturbulenzintensität rechnerisch ermittelt.

Im Bereich der atmosphärischen Bodengrenzschicht ergibt sich die zu berücksichtigende Umgebungsturbulenzintensität im Wesentlichen aus dem Einfluss der Rauigkeitselemente des Bodens wie Bäumen, Büschen, Bauwerken etc.. Hierzu erfolgt eine Typisierung von Geländeoberflächen hinsichtlich ihres Bewuchses, ihrer Bebauung und Nutzung auf Basis detaillierter Satellitendaten zur Bodenbedeckung /1.8/, wobei Geländeabschnitte bis 25km Entfernung um die jeweilige Koordinate einbezogen werden. Den einzelnen Geländeabschnitten werden anschließend Rauigkeitsklassen gemäß der Empfehlungen des für die Kommission der Europäischen Gemeinschaften veröffentlichten Europäischen Windatlanten /1.3/ zugeordnet. Der Einfluss der verschiedenen Geländeabschnitte wird abhängig vom Abstand zur Koordinate in zwölf Richtungssektoren á 30° bewertet, wodurch sich gewichtete Mittel für die



Rauigkeiten in den jeweiligen Sektoren ergeben.

Auf Grundlage dieser Rauigkeitsklassifizierung werden die notwendigen Werte von uns auf Basis der Empfehlungen der VDI-Richtlinie VDI 3783 Blatt 12 /1.1/ sowie der DIN EN 1991-1-4 /2.9/ bestimmt.

Die zu berücksichtigenden Umgebungsturbulenzintensitäten sind im Gegensatz zu den Rauigkeiten nicht nur richtungsabhängig, sondern auch abhängig von der Windgeschwindigkeit und Höhe über Grund und werden entsprechend für die verschiedenen Richtungen und Windgeschwindigkeiten für jede einzelne WEA auf Nabenhöhe ermittelt und in den weiteren Berechnungen berücksichtigt. Der Windgeschwindigkeitsverlauf orientiert sich dabei am Normalen Turbulenzmodell (NTM) der IEC 61400-1 /2.3/.

Einzelstrukturen und orografische Hindernisse, die auf Grund ihrer Entfernung und Höhe so groß sind, dass der direkte Einfluss der Nachlaufströmung dieser Einzelstrukturen und orografischen Hindernisse auf den Rotor einer WEA nicht ausgeschlossen werden kann, können nicht als Rauigkeitselemente aufgelöst werden. Ihr Einfluss ist gegebenenfalls gesondert zu bewerten (siehe hierzu Kapitel 4.1).

2.4.3 Bestimmung der effektiven Turbulenzintensitäten

In /1.5/ ist ein Verfahren beschrieben, um den Einfluss mehrerer, verschieden weit entfernter WEA unter Berücksichtigung der Häufigkeit der Nachlaufsituationen zu bewerten. Die Bewertung erfolgt mit Hilfe einer effektiven Turbulenzintensität. Die effektive Turbulenzintensität ist eine Ersatzgröße, welche über die gesamte Lebensdauer der WEA anzusetzen ist. Sie gewichtet die Belastung durch die Umgebungsturbulenzintensität und die zusätzlich durch die Nachlaufsituation induzierte Belastung. Das Verfahren wird sowohl im internationalen Regelwerk als auch in der DIBt-Richtlinie für Windenergieanlagen von 2012 /2.8/ empfohlen. Eine zusätzliche Belastung besteht nach diesem Berechnungsverfahren nicht mehr, wenn der Abstand zur benachbarten WEA mehr als zehn Rotordurchmesser beträgt. Da dieses Berechnungsverfahren im Folgenden Anwendung findet, wird bei der Berechnung der effektiven Turbulenzintensität einer WEA daher der Einfluss aller benachbarten WEA berücksichtigt, die bis zu 10D (bezogen auf ihren jeweiligen Rotordurchmesser) entfernt stehen.

Gegenüber der in /1.5/ dargestellten Form des Berechnungsverfahrens verwenden wir das Verfahren mit zwei Modifikationen, welche im Folgenden erläutert werden.

Das in /1.5/ eingesetzte Modell für die zusätzlich im Nachlauf produzierte Turbulenzintensität ist abhängig vom Schubbeiwert c_T der WEA. Hier verwenden wir für die Modellierung der zusätzlich im Nachlauf produzierten Turbulenzintensität



ein aufwändigeres Modell nach /1.2/, in das neben dem Schubbeiwert c_T der WEA auch die Schnelllaufzahl der WEA und die Umgebungsturbulenzintensität als Parameter eingehen. Ist es möglich eine WEA leistungsreduziert oder in einem veränderten Betriebsmodus zu betreiben, verwenden wir die zur jeweiligen Nennleistung bzw. dem Betriebsmodus gehörenden oder abdeckende Parameter. Sowohl in /1.5/ als auch im internationalen Regelwerk /2.2, 2.3/ ist weiterhin ein Modell zur Bestimmung der zusätzlich im Nachlauf produzierten Turbulenzintensität angegeben, das ganz ohne anlagenspezifische Parameter auskommt. Hier wird ein generalisierter, konservativer Verlauf der Schubbeiwerte zugrunde gelegt /1.5/. Dieses Modell wird von uns verwendet, wenn für eine WEA die anlagenspezifischen Parameter nicht vorliegen oder diese einen Verlauf zeigen, der deutlich von denen der WEA abweicht, die der ursprünglichen Validierung zugrunde lagen.

Die zweite Modifikation betrifft die Häufigkeit der jeweiligen Nachlaufsituation, die nach /2.8/ mit 6% angenommen werden kann. Dieser konstanten Häufigkeit liegt die Annahme eines voll ausgebildeten Nachlaufs (far wake) zugrunde, der sich typischerweise drei bis fünf Rotordurchmesser hinter der WEA einstellt. Um auch für geringe Anlagenabstände konservative Werte zu erhalten, wird die Häufigkeit der jeweiligen Nachlaufsituation von uns davon abweichend auf Basis der realen geometrischen Verhältnisse im Windpark und unter Berücksichtigung der Häufigkeitsverteilung der Windrichtungen berechnet. Zusätzliche Sicherheit für den Nahbereich entsteht durch die Annahme, dass der Nachlauf der WEA von Anfang an eine deutlich größere Ausdehnung als der Rotor aufweist.

Die Ausdehnung des Nachlaufs wird auch in vertikaler Richtung berücksichtigt, so dass bei ausreichendem Höhenunterschied kein Einfluss des Nachlaufs auf die deutlich niedrigere bzw. höhere WEA mehr besteht.

Für den materialspezifischen Wöhlerlinien-Koeffizienten m wird der höchste Koeffizient für die schwächste Strukturkomponente der WEA zugrunde gelegt. Daraus ergibt sich ein abdeckender Wert von $m = 10$ /1.6/ für glasfaserverstärkte Kunststoffe mit einem Faseranteil von 30 bis 55 Volumen-% /2.5/. Für kohlefaserverstärkte Kunststoffe mit einem Faseranteil von 50 bis 60 Volumen-% wird nach /2.5/ ein Wert von $m = 14$ zugrunde gelegt. Herstellerspezifisch können abweichende Wöhlerlinien-Koeffizienten für die schwächste Strukturkomponente der WEA verwendet werden. Wenn nicht anders gekennzeichnet, beziehen sich die hier dargestellten effektiven Turbulenzintensitäten auf einen Wöhlerlinien-Koeffizienten von $m = 10$.

Die DIBt von 2004 und 2012 /2.7, 2.8/ definiert die Auslegungswerte der Turbulenzintensität windgeschwindigkeitsabhängig. Demgegenüber definiert die DIBt von 1995 /2.6/ einen konstanten mittleren Auslegungswert für die



Turbulenzintensität von 20%, der allen Windgeschwindigkeiten zugeordnet ist.

Da im Falle eines standortspezifischen Nachweises der Betriebslasten diese auf Basis der ermittelten windgeschwindigkeitsabhängigen effektiven Turbulenzintensitäten berechnet werden müssen, werden für alle betrachteten WEA die windgeschwindigkeitsabhängigen Werte ausgewiesen.

Für die WEA, für die Auslegungswerte der Turbulenzintensität auf Basis der DIBt von 1995 (1993) /2.6/ zugrunde gelegt werden, sind entsprechende konstante mittlere effektive Turbulenzintensitäten ausgewiesen. Benachbarte WEA mit einer sehr geringen oder sehr hohen Leistung pro Quadratmeter der Rotorfläche oder benachbarte WEA mit einer sehr niedrigen oder sehr hohen Nennwindgeschwindigkeit können dabei qualitativ abweichende Ergebnisse im Vergleich zu einer Bewertung auf Basis von windgeschwindigkeitsabhängigen Auslegungswerten hervorrufen. In diesen Fällen kann der Vergleich mit den windgeschwindigkeitsabhängigen Auslegungswerten zugrunde gelegt werden.

2.4.4 Bestimmung der Extremwerte der Turbulenzintensitäten

Die Extremwerte der Turbulenzintensität werden entsprechend den Vorgaben in /2.3/ unter Berücksichtigung der Nachlaufsituationen bestimmt. Als Maß dient der über alle Richtungen gebildete Maximalwert der Turbulenzintensität im Zentrum des Nachlaufs.

2.4.5 Bestimmung der Luftdichte

Zur Berechnung der Luftdichte wird die mittlere Temperatur in 2m Höhe über den Zeitraum von 1981 bis 2010 aus einem 1km-Raster des Deutschen Wetterdienstes zugrunde gelegt /1.10/. Die Luftdichte auf Nabenhöhe der WEA wird anschließend auf Grundlage der Berechnungsvorschrift nach DIN ISO 2533 /2.12/ ermittelt und gemäß /2.4/ für Windgeschwindigkeiten oberhalb der Nennwindgeschwindigkeit korrigiert.

2.4.6 Bestimmung des Höhenexponenten

Der Höhenexponent unterliegt sehr starken tageszeitlichen und saisonalen Schwankungen. Die Stabilität der Atmosphäre beeinflusst den Höhenexponenten dabei maßgeblich. Stabilitätsbedingte große Höhenexponenten sind dabei jedoch oft mit niedrigen Turbulenzen korreliert und werden bezüglich der Lasten durch diese oft ausgeglichen. Da entsprechend dem Regelwerk ein einziger über alle Zeiten, Windrichtungen und Windgeschwindigkeiten gemittelter Wert gefordert wird, erfolgt die Berechnung des mittleren Höhenexponenten daher alleine auf Basis der



ermittelten Rauigkeiten. Einflüsse der Stabilität der Atmosphäre werden im Mittel dabei vernachlässigt.

Der Einfluss des Höhenexponenten auf die Lasten der einzelnen Komponenten einer WEA ist sehr unterschiedlich. Sowohl sehr kleine als auch sehr große Werte des Höhenexponenten können zu einer Erhöhung der Lasten führen. Ein einfacher Vergleich mit dem Auslegungswert des Höhenexponenten ist daher nicht möglich. Der Mittelwert des Höhenexponenten sollte bei einem Auslegungswert von 0.2 gemäß /2.4/ in einem Wertebereich von 0.05 bis 0.25 liegen und kann damit um 25% nach oben und um 75% nach unten abweichen. Für andere Auslegungswerte des Höhenexponenten können analoge Gültigkeitsbereiche definiert werden.

Stehen die geplanten WEA in orografisch exponierter Lage auf oder in der Nähe von Hügelkuppen oder sind schroffe Geländekanten oder Steilhänge in direkter Umgebung vorhanden, ist zu überprüfen, ob es zu erhöhten Windgeschwindigkeitsgradienten in vertikaler Richtung im Bereich des Rotors der WEA kommen kann. Falls erforderlich, wird hierauf in Kapitel 4 hingewiesen.

2.4.7 Bestimmung der Schräganströmung

Gemäß /2.3/ kann angenommen werden, dass die Anströmung parallel zu der in Kapitel 2.4.1 definierten Ausgleichsebene für einen Radius von fünffacher Nabenhöhe läuft. Die Steigung dieser Ausgleichsebene dient daher als Maß für die Schräganströmung. Im Falle ausgeprägter Kuppen- oder Kammlagen, sind eventuell weitere Ausgleichsebenen gemäß Kapitel 2.4.1 heranzuziehen und werden dann zusätzlich in Kapitel 4 ausgewiesen.

2.4.8 Extrapolation der Winddaten

Die zur Verfügung gestellten Winddaten werden nicht in der Horizontalen umgerechnet. Es findet vielmehr in Abstimmung mit dem Auftraggeber eine Zuordnung der WEA-Standorte zu dem oder den Windreferenzpunkten statt. Diese Zuordnung kann dem Anhang entnommen werden.

Besteht ein signifikanter Höhenunterschied zwischen Bezugshöhe der Winddaten und Nabenhöhe der WEA findet eine Umrechnung der Winddaten in der Vertikalen statt. Diese Extrapolation erfolgt unter Annahme eines logarithmischen Höhenprofils der Windgeschwindigkeit. Die erforderlichen mittleren Rauigkeitslängen werden für die WEA auf Basis der Rauigkeitsklassifizierung ermittelt.



2.5 Gültigkeit der Ergebnisse

Alle Werte mit Höhenbezug beziehen sich, wenn nichts anderes angegeben ist, auf die Nabenhöhe (z_{hub}) der entsprechenden WEA.

Die für den Nachweis der Standorteignung notwendige effektive Turbulenzintensität hängt von mehreren Faktoren ab. Dies sind die Windparkkonfiguration in Form der WEA-Daten (Koordinaten, WEA-Typ, Nabenhöhe, Nennleistung und eventuelle vorhandene Betriebsbeschränkungen), die Windbedingungen (Häufigkeitsverteilung der Windrichtung, sektorielle Weibull-Parameter der Windgeschwindigkeitsverteilung sowie die Umgebungsturbulenzintensität) und die Typenprüfung der WEA, die festlegt, welcher statistische Wert der Umgebungsturbulenzintensität zugrunde zu legen ist.

Jede Änderung dieser Randbedingungen erfordert daher eine Neubewertung der Standorteignung hinsichtlich der Auslegungswerte der Turbulenzintensität.

Da bei den betrachteten WEA anlagenspezifische Werte (siehe Kapitel 2.1) berücksichtigt werden, kann insbesondere bei einem Wechsel auf einen anderen WEA-Typ mit z.B. kleinerem Rotordurchmesser nicht unterstellt werden, dass die Aussage des Gutachtens weiterhin gültig ist.

Bei den verwendeten anlagenspezifischen Werten (siehe Kapitel 2.1) kann es sich um berechnete oder gemessene Größen des Herstellers handeln. Diese können voneinander abweichen und zu unterschiedlichen Ergebnissen führen.

Die Ergebnisse beziehen sich dabei auf eine vorliegende gültige Typenprüfung für die betrachteten WEA. Der Typenprüfung müssen mindestens die jeweils aufgeführten Auslegungswerte zugrunde liegen. Es wird davon ausgegangen, dass alle betrachteten WEA die in der Typenprüfung zugrunde gelegte Entwurfslebensdauer noch nicht überschritten haben.

Zum Zeitpunkt der Erstellung des Gutachtens steht nicht fest, welche Dokumente im Rahmen des Genehmigungsverfahrens später bei der Behörde eingereicht werden. Die im Gutachten zitierten Quelldokumente der verwendeten Auslegungswerte müssen daher nicht zwingend mit den Dokumenten übereinstimmen, welche im Rahmen des Bauantrages bzw. der Baugenehmigung vorgelegt werden. Sie dienen hier lediglich als Quellenangabe für die verwendeten Auslegungswerte.

Wenn in den uns vorliegenden Dokumenten zur Auslegung der WEA kein eindeutiger Rückschluss auf Auslegungswerte möglich ist, verwenden wir konservativ abdeckende Werte. Eine Haftung für die Richtigkeit der ermittelten Werte wird nicht übernommen.



Auf Basis des Gutachtens ist zu prüfen, ob die im Gutachten aufgeführten Auslegungswerte mit den Auslegungswerten in den zur Baugenehmigung vorgelegten Dokumenten übereinstimmen. Wenn die Auslegungswerte übereinstimmen ist die Gültigkeit des Gutachtens unabhängig von den zitierten Quelldokumenten gegeben.

Die bei sehr geringen Abständen mögliche gegenseitige Beeinflussung benachbarter WEA durch die Nachlaufschleppe der Turmbauwerke wird nicht betrachtet. Ebenso wird ein möglicher Einfluss von sehr nahe liegenden großen Einzelstrukturen wie z.B. hohen Gebäuden auf betrachtete WEA nicht untersucht.

2.5.1 Betriebsbeschränkungen

Wenn bei sonst gleichbleibenden Randbedingungen WEA entfallen oder zusätzliche Betriebsbeschränkungen definiert werden, führt dies stets zu gleichbleibenden bzw. niedrigeren effektiven Turbulenzintensitäten. Die getroffenen Aussagen zur Standorteignung sind daher in diesen Fällen weiterhin anwendbar.

Der Einfluss neu geplanter WEA auf bestehende WEA kann sich aber stärker abbilden. Aussagen zu einem nicht signifikanten Einfluss neu geplanter WEA auf bestehende WEA behalten in diesen Fällen daher nicht immer ihre Gültigkeit und sind neu zu bewerten.

Da die Lasten bei einer abgeschalteten WEA auch in der erhöhten Turbulenz der Nachlaufströmung der verursachenden Nachbar-WEA geringer sind als im Betrieb bei ungestörter Anströmung, kann statt der windaufwärts gelegenen, verursachenden WEA die zu schützende WEA abgeschaltet werden. Alternative 1b in Tabelle 2.5.1.1 ist also äquivalent zu 1a und umgekehrt. Der in Tabelle 2.5.1.1 angegebene Windgeschwindigkeitsbereich bezieht sich stets auf die Nabenhöhe der eingeschränkten WEA. Bei unterschiedlichen Nabenhöhen ist daher darauf zu achten, dass bei einem Wechsel von Alternativen 1a auf 1b und umgekehrt der Windgeschwindigkeitsbereich auf die andere Nabenhöhe umgerechnet werden muss.

Betriebsbeschränkungen, bei denen für einen bestimmten Windgeschwindigkeits- und Windrichtungsbereich Abschaltungen definiert sind, decken Betriebsbeschränkungen, bei denen ein anderer Betriebsmodus oder eine Blattwinkelverstellung für dieselben Bereiche definiert wird ab. Alternative 2 (Blattwinkelverstellung) oder 3 (Betriebsmodus) in Tabelle 2.5.1.1 sind durch die Alternativen 1a und 1b in beiden Fällen abgedeckt.

In den Ergebnissen wird in der Regel nur eine der Abschaltungsvarianten dargestellt. D.h., wenn Alternative 1a aus Tabelle 2.5.1.1 dargestellt wird, ist Alternative 1b möglich und umgekehrt. Wenn Alternative 2 oder 3 dargestellt wird, sind auch die Alternativen 1a und 1b möglich.



Tabelle 2.5.1.1: Allgemeines Beispiel für alternative Betriebsbeschränkungen (Erläuterungen zu den Symbolen siehe Anhang Kapitel A.5).

Alternative	Eingeschränkte WEA	Zu schützende WEA	Abschaltung	Betriebsmodus	β [°]	γ_{start} [°]	γ_{stop} [°]	v_{start} [m/s]	v_{stop} [m/s]
1a	WEA n	WEA m	X	-	-	10.2	44.7	5.5	9.5
1b	WEA m	WEA m	X	-	-	10.2	44.7	5.5	9.5
2	WEA n	WEA m	-	-	3	10.2	44.7	5.5	9.5
3	WEA n	WEA m	-	1.6MW	-	10.2	44.7	5.5	9.5

Aufgeführte Betriebsbeschränkungen stellen Mindestanforderungen dar. Eine Prüfung der technischen Umsetzbarkeit wird nicht vorgenommen.

3 Eingangsdaten

3.1 Windparkkonfiguration und Auslegungswerte

Am Standort Sondershausen Großberndten (Thüringen) plant der Auftraggeber die Errichtung von sieben Windenergieanlagen (WEA 1 - 7). Am Standort befinden sich 17 weitere benachbarte WEA.

Die vom Auftraggeber übermittelten Daten zur Windparkkonfiguration sind in Tabelle A.2.2.1 des Anhangs bzw. in Abschnitt A.2.6 des Anhangs dargestellt.

Die Zuordnung der einzelnen WEA zu den Winddatensätzen (Kapitel A.2.4 des Anhangs und gegebenenfalls zu den Datensätzen der Umgebungsturbulenzintensität (Kapitel A.2.1 des Anhangs) kann den letzten beiden Spalten (Datensatz-Nr.) der Tabelle A.2.2.1 des Anhangs entnommen werden.

Alle Benennungen von WEA im Dokument beziehen sich auf die Nomenklatur von Spalte 2 (Nr.) in Tabelle A.2.2.1 des Anhangs.

Für die zu betrachtenden WEA werden die in Tabelle 3.1.1 dargestellten Auslegungswerte zugrunde gelegt. Der zu den Turbulenzkategorien gehörende windgeschwindigkeitsabhängige Verlauf ist im Anhang in Tabelle A.2.3.1 dargestellt.



Table 3.1.1: Auslegungswerte der zu betrachtenden WEA.

WEA		Auslegungswerte										
	Lfd. Nr.	Richtlinie	Windzone	Turbulenzkategorie	τ_{design} [a]	v_{ave} [m/s]	k [-]	v_{ref} [m/s]	α [-]	φ [°]	ρ [kg/m ³]	Quelle
	1 - 5	DIBt 2012	WZ S	B nach IEC Ed. 3 /2.2/	20*	7.0	2.0	37.45	0.2	8	1.225	/3.3/
	6	DIBt 2012	WZ 4 GK I & II	A nach IEC Ed. 3 /2.2/	20	8.5	2.0	45.79	0.0, 0.2, 0.4	8	1.225	/3.4, 3.5/
	7	DIBt 2012	WZ 3 GK I & II	A nach IEC Ed. 3 /2.2/	20*	8.5	2.0	43.33	0.0, 0.2, 0.3	8	1.225	/3.6/
	8 - 14	DIBt 2012	---*	B nach IEC Ed. 3 /2.2/	---*	---*	---*	---*	---*	---*	---*	---
	15	DIBt 2012	---*	A nach IEC Ed. 3 /2.2/	---*	---*	---*	---*	---*	---*	---*	---
	16 - 24	DIBt 2004	---*	A nach IEC Ed. 2 /2.1/	---*	---*	---*	---*	---*	---*	---*	---

*: Da zur Entwurfslebensdauer keine Informationen vorlagen, ist die gemäß DIBt-Richtlinie minimal anzusetzende Entwurfslebensdauer von 20 Jahren aufgeführt.

---*: Da der Nachweis der Standorteignung der WEA nur hinsichtlich des Einflusses benachbarter WEA untereinander durch einen Vergleich mit den Auslegungswerten der Turbulenzintensität erfolgt, sind weitere Auslegungswerte nicht erforderlich (siehe Kapitel 2.1).



3.2 Windgeschwindigkeitsverteilung am Standort

Die relativen Häufigkeiten der Windrichtung und Windgeschwindigkeiten zum Standort Sondershausen Großberndten wurden vom Auftraggeber zur Verfügung gestellt /3.1/ und sind in Kapitel A.2.4 des Anhangs dargestellt.

Die in Kapitel A.2.4 des Anhangs dargestellten Koordinaten werden eventuell nicht im Original-Koordinatensystem aus /3.1/ dargestellt, sondern auf das hier verwendete Koordinatensystem umgerechnet (siehe Kapitel A.1.1 des Anhangs). Für die Umrechnung der Koordinaten wird keine Gewähr übernommen.

Die verwendeten Daten werden als richtig und repräsentativ für die freie Anströmung im Windpark am Standort Sondershausen Großberndten vorausgesetzt.

3.3 Extremwind am Standort

Als Eingangswert für den 10-min-Mittelwert der Windgeschwindigkeit auf Nabenhöhe mit einem Wiederkehrzeitraum von 50 Jahren wird der Auslegungswert der Windzone verwendet.

3.4 Umgebungsturbulenzintensität am Standort

Die Ermittlung der Umgebungsturbulenzintensität erfolgt gemäß Kapitel 2.4.2 und den dort genannten Eingangsdaten.

Die Bewertung des Orografieeinflusses erfolgt im vorliegenden Fall auf Basis von Höhendaten nach /1.9/.

3.5 Sektorielle Betriebsbeschränkungen

Die jeweils in den Berechnungsvarianten im Anhang berücksichtigten Betriebsbeschränkungen sind in Kapitel A.2.5 des Anhangs dargestellt.

4 Bestimmung der Standortbedingungen

4.1 Standortbesichtigung

Gemäß DIBt-Richtlinie für Windenergieanlagen von 2012 /2.8/ ist eine Standortbesichtigung durchzuführen. Im Rahmen des Nachweises der Standorteignung dient die Standortbesichtigung der Dokumentation der aktuellen Situation vor Ort und der Bestimmung der Geländekategorie nach /2.9/.

Weiterhin sollen Einzelstrukturen und orografische Hindernisse identifiziert werden, die auf Grund ihrer Entfernung und Höhe so groß sind, dass der direkte Einfluss der Nachlaufströmung dieser Einzelstrukturen und orografischen Hindernisse auf den



Rotor einer WEA nicht ausgeschlossen werden kann. Diese Einzelstrukturen können dann nicht als Rauigkeitselement aufgelöst werden und ihr Einfluss ist gesondert zu bewerten. Benachbarte WEA sind nicht als Einzelstrukturen zu betrachten. Die Verifizierung der Windparkkonfiguration (siehe Kapitel 3) ist daher nicht Umfang der Standortbesichtigung.

Der Standort Sondershausen Großberndten wurde am 24.01.2018 besichtigt /3.2/.

Der Standort lässt sich in die Geländekategorie II - III nach /2.9/ einordnen.

Relevante Einzelstrukturen, deren Nachlaufströmungen gesondert zu betrachten wären, wurden nicht identifiziert.

4.2 Ergebnisse Standortbedingungen

Die ermittelten Standortbedingungen sind in den Tabellen A.3.2.1 - A.3.2.3 des Anhangs dargestellt. Überschreitungen der Auslegungswerte der Turbulenzintensität sind in Tabelle A.3.2.1 des Anhangs rot markiert.

Entsprechend der DIBt-Richtlinie /2.8/ werden die Ergebnisse für alle WEA ausgewiesen, deren Abstand bezogen auf den Rotordurchmesser D der geplanten WEA kleiner gleich acht Rotordurchmesser ist. Diese Betrachtungsweise ist abdeckend für alle Referenzwindgeschwindigkeiten v_{ref} (siehe Kapitel 2).

Die WEA, an deren Standorten mehr als 15% der Energie des Windes aus komplexen Sektoren kommt, sind in Tabelle A.3.2.3 des Anhangs als komplex markiert. Für diese WEA kann das vereinfachte Verfahren zum Nachweis der Standorteignung nach DIBt-Richtlinie für Windenergieanlagen von 2012 /2.8/ nicht angewendet werden.

Es ist zusätzlich in der Tabelle A.3.1.1 des Anhangs die Situation vor dem Zubau der WEA 1 - 7 dargestellt.

Es sind zusätzlich in den Tabellen A.3.3.1 und A.3.4.1 des Anhangs effektive Turbulenzintensitäten für die Wöhlerlinien-Koeffizienten $m = 4$ und 8 dargestellt.

4.2.1 10-min-Mittelwert der Windgeschwindigkeit auf Nabenhöhe mit einem Wiederkehrzeitraum von 50 Jahren

Die Windzone der Standorte der geplanten WEA und der zugehörige 10-min-Mittelwert der Windgeschwindigkeit auf Nabenhöhe mit einem Wiederkehrzeitraum von 50 Jahren wurden gemäß /2.10/ bzw. /2.11/ ermittelt und können Tabelle A.3.2.3 des Anhangs entnommen werden.

Sofern in Kapitel 3.3 kein standortspezifischer Wert ermittelt wurde, finden diese Werte Anwendung.



Sofern es sich um einen küstennahen Standort der höchsten Windzone handelt wird der 10-min-Mittelwert der Windgeschwindigkeit auf Nabenhöhe mit einem Wiederkehrzeitraum von 50 Jahren sowohl für die Geländekategorie I als auch für die Geländekategorie II angegeben. Der Wert für die Geländekategorie I ist zu verwenden, wenn die Standortbesichtigung eine Einordnung in Geländekategorie I ergeben hat (siehe Kapitel 4.1). In allen anderen Fällen kann der Wert der Geländekategorie II angesetzt werden.

5 Nachweis der Standorteignung

5.1 Allgemeine Hinweise

- Bezüglich der Gültigkeit der getroffenen Aussagen gelten die in Kapitel 2.5 genannten Anmerkungen.

5.2 Nachweis der Standorteignung durch einen Vergleich der Windbedingungen

In Tabelle 5.2.1 ist das Ergebnis des Nachweises der Standorteignung durch einen Vergleich der Windbedingungen sowie die Einzelergebnisse für die einzelnen Windparameter in einer Übersicht dargestellt. Die Bewertung beruht auf einem Vergleich der in den Tabellen A.3.2.1 und A.3.2.3 des Anhangs dargestellten Werte mit den Auslegungswerten der Tabelle 3.1.1. Für die Bewertung der Windgeschwindigkeitsverteilung werden die Parameter A und k der Weibullverteilung dabei nicht direkt verglichen, sondern dienen als Eingangswerte für die in Kapitel 2.1 aufgeführten Nachweismethoden.

Das Gesamtergebnis ist nur positiv, wenn alle Einzelergebnisse positiv bewertet sind. Für bestehende WEA wird nur der Einfluss der geplanten WEA auf Auslegungswerte der Turbulenzintensität betrachtet (siehe Kapitel 2.1).

Tabelle 5.2.1: Übersicht über das Ergebnis des Nachweises der Standorteignung durch einen Vergleich der Windbedingungen.

WEA			Einzelergebnisse						Gesamt- ergebnis	LR möglich
	Lfd. Nr.	Bezeichnung	I_{eff}	α	φ	ρ	v_{50}	A, k		
	1	P60	-	+	+	+	+	+	-	ja
	2	P61	-	+	+	+	+	+	-	ja
	3	P62	-	+	+	+	+	+	-	---*
	4	P63	-	+	+	+	+	+	-	ja
	5	P64	-	+	+	+	+	+	-	---*



WEA			Einzelergebnisse						Gesamt- ergebnis	LR möglich
Lfd. Nr.	Bezeichnung	I_{eff}	α	φ	ρ	v_{50}	A, k			
	6	P65	+	+	+	+	+	+	+	---
	7	P66	-	+	+	+	+	+	-	nein
	8	P40	-						-	ja
	9	P41	-						-	ja
	10	P44	-						-	ja
	11	P42	-						-	---*
	12	P45	-						-	ja
	13	P50	-						-	---*
	14	P51	-						-	---*
	15	P52	-						-	nein
	16	B30	+						+	---
	17	B34	-						-	ja
	18	B31	-						-	nein
	19	B36	-						-	ja
	20	B37	+						+	---
	21	B32	+						+	---
	22	B21	+						+	---
	23	B20	-						-	ja
	24	B22	-						-	ja

---*: Aufgrund der engen Abstände zu benachbarten WEA sind bei einer Lastrechnung besondere Sicherheiten oder Nachweise zu berücksichtigen (siehe Kapitel 2.2).

5.2.1 Betriebsbeschränkungen

Alle aufgeführten Betriebsbeschränkungen stellen Mindestanforderungen dar. Eine Prüfung der technischen Umsetzbarkeit wurde nicht vorgenommen.

Der Einfluss der geplanten WEA 1 - 7 auf die WEA 9, 12 - 14 und 17 ist so groß, dass sich durch die geplanten WEA 1 - 7 eine signifikante Erhöhung der effektiven Turbulenzintensitäten an der WEA 9, 12 - 14 und 17 ergibt (siehe Tabellen A.3.1.1 und A.3.2.1 des Anhangs).

Der signifikante Einfluss der WEA 1 - 7 auf die WEA 9, 12 - 14 und 17 kann in der geplanten Windparkkonfiguration durch Ausschluss des Betriebes der WEA 9, 12 - 14 und 17 in der Nachlaufströmung der WEA 1 - 7 unterbunden werden. Dies kann durch das Abschalten der WEA 1 - 7 bei Auftreten der entsprechenden Nachlaufsi-



tuation erreicht werden.

Alternativ kann ein signifikanter Einfluss durch einen veränderten Betriebsmodus der entsprechenden benachbarten WEA bei Auftreten der jeweiligen Nachlaufsituation ausgeschlossen werden.

Die Standorteignung der betroffenen WEA 1 - 5, 7, 8, 10, 11, 15, 18, 19, 23 und 24 kann hinsichtlich der Auslegungswerte der Turbulenzintensität in der geplanten Windparkkonfiguration durch eine Betriebsbeschränkung benachbarter WEA gewährleistet werden. Dies kann durch das Abschalten oder einen veränderten Betriebsmodus der entsprechenden benachbarten WEA bei Auftreten der jeweiligen Nachlaufsituation erreicht werden.

Die notwendigen Betriebsbeschränkungen sind in Tabelle A.2.5.5.1 dargestellt. Zu den implizit mit abgedeckten alternativen Betriebsbeschränkungen siehe Kapitel 2.5.1.

5.2.2 Einschränkungen

Die Aussagen zum Nachweis der Standorteignung durch einen Vergleich der Windbedingungen unterliegen keinen Einschränkungen.

5.3 Nachweis der Standorteignung durch einen Vergleich der Lasten

Die in den Tabellen A.3.2.1 - A.3.2.3, A.3.3.1 und A.3.4.1 des Anhangs dargestellten Werte oder diese bezüglich der Lasten abdeckende Werte können als Eingangsparameter für standortspezifische Berechnungen der Betriebs- und Extremlasten durch den Hersteller verwendet werden, um die Standorteignung der zu betrachtenden WEA durch einen Vergleich mit den Auslegungslasten zu überprüfen.

Die Komplexität von WEA-Standorten kann dabei entweder in der effektiven Turbulenzintensität über entsprechende Turbulenzstrukturparameter erfasst werden oder sie ist in den standortspezifischen Berechnungen der Betriebslasten gemäß /2.2, 2.3/ durch eine Erhöhung der lateralen und vertikalen Komponente der Standardabweichung der Windgeschwindigkeit auf den einfachen bzw. den 0.7fachen Wert der longitudinalen Komponente zu berücksichtigen.

Entsprechende Berechnungsberichte liegen für die WEA 1, 2, 4, 8 - 10, 17, 19, 23 und 24 nicht vor.

Entsprechende Berechnungsberichte bzw. zusätzliche Nachweise liegen für die WEA 3, 5, 11, 13 und 14 nicht vor.



6 Zusammenfassung

Am Standort Sondershausen Großberndten (Thüringen) plant der Auftraggeber die Errichtung von sieben Windenergieanlagen (WEA). Am Standort befinden sich 17 weitere benachbarte WEA.

Die Planung wurde von uns daraufhin bewertet, ob die Standorteignung der zu betrachtenden WEA gemäß DIBt-Richtlinie für Windenergieanlagen von 2012 /2.8/ gewährleistet ist.

Die Ergebnisse beziehen sich dabei auf eine vorliegende gültige Typenprüfung für die betrachteten WEA. Der Typenprüfung müssen mindestens die in der Tabelle 3.1.1 aufgeführten Auslegungswerte zugrunde liegen.

Die Ergebnisse dienen gleichzeitig als Turbulenz-Immissionsprognose im Sinne des BImSchG. Das heißt, die Immissionen sind zumutbar, solange die Standorteignung hinsichtlich der Auslegungswerte der Turbulenzintensität oder hinsichtlich der Auslegungslasten gewährleistet bleibt.

Die abschließenden Aussagen zur Standorteignung der geplanten WEA bzw. der weiteren zu betrachtenden WEA sind in Tabelle 6.1 dargestellt.

Alternativen zu den in Tabelle 6.1 aufgeführten Betriebsbeschränkungen sind in Kapitel 2.5.1 erläutert.



Tabelle 6.1: Ergebnisübersicht für alle zu betrachtenden WEA.

Getroffene Aussagen zu den WEA	WEA lfd. Nr.	Einschränkungen	
		BBS	Sonstige
Standorteignung der geplanten WEA:			
Die Standorteignung folgender WEA ist durch einen Vergleich mit den Windbedingungen der Auslegung nachgewiesen.	6	---	---
	1	Nr. 1 Tabelle A.2.5.5.1*	---
	2	Nr. 2 Tabelle A.2.5.5.1*	
	3	Nr. 3 Tabelle A.2.5.5.1*	
	4	Nr. 4 Tabelle A.2.5.5.1*	
	5	Nr. 5 Tabelle A.2.5.5.1*	
	7	Nr. 6 Tabelle A.2.5.5.1	
Standorteignung der weiteren zu betrachtenden WEA:			
Die Standorteignung folgender WEA ist hinsichtlich des Einflusses benachbarter WEA durch einen Vergleich mit den Windbedingungen der Auslegung nachgewiesen.	16, 20 - 22	---	---
	8	Nr. 7 Tabelle A.2.5.5.1*	
	10	Nr. 9 Tabelle A.2.5.5.1*	
	11	Nr. 10 Tabelle A.2.5.5.1*	
	15	Nr. 14 Tabelle A.2.5.5.1	
	18	Nr. 16 Tabelle A.2.5.5.1	
	19	Nr. 17 Tabelle A.2.5.5.1*	
	23	Nr. 18 Tabelle A.2.5.5.1*	
24	Nr. 19 Tabelle A.2.5.5.1*		
Die Standorteignung folgender WEA lässt sich durch einen Vergleich mit den Windbedingungen der Auslegung nicht nachweisen. Ein weiterer signifikanter Einfluss wird durch die definierten Betriebsbeschränkungen unterbunden.	9	Nr. 8 Tabelle A.2.5.5.1*	---
	12	Nr. 11 Tabelle A.2.5.5.1*	
	13	Nr. 12 Tabelle A.2.5.5.1*	
	14	Nr. 13 Tabelle A.2.5.5.1*	
	17	Nr. 15 Tabelle A.2.5.5.1*	

*: Die Betriebsbeschränkung kann entfallen, wenn auf Basis der hier ermittelten Windbedingungen ein Nachweis der Standorteignung durch einen Vergleich der Lasten erbracht wird (siehe Kapitel 5.3).



7 Literaturangaben

Allgemein

- /1.1/ Verein Deutscher Ingenieure; VDI 3783 Blatt 12; Umweltmeteorologie - Physikalische Modellierung von Strömungs- und Ausbreitungsvorgängen in der atmosphärischen Grenzschicht; Dezember 2000; Düsseldorf, Deutschland.
- /1.2/ ECN Solar & Wind Energy; Dekker, J.W.M.; Pierik, J.T.G. (Eds.); European Wind Turbine Standards II; 1998; Petten, Netherlands.
- /1.3/ Risø National Laboratory; European Wind Atlas; 1989; Risø, Denmark.
- /1.4/ ECN Solar & Wind Energy; Dekker, J.W.M.; Pierik, J.T.G. (Eds.); European Wind Turbine Standards II; 1998; Petten, Netherlands.
- /1.5/ Risø National Laboratory; Frandsen, St. T.; Turbulence and turbulence-generated structural loading in windturbine clusters; Wind Energy Department; Januar 2007; Roskilde, Risø-R-1188(EN), Denmark.
- /1.6/ Kunte A.; Landesamt für Landwirtschaft; Umwelt und ländliche Räume Schleswig-Holstein; Turbulenz-Immissionsprognosen vereinheitlicht; WIND-KRAFT Journal; Verlag Natürliche Energien, Ausgabe 4/2009, Seite 28-30; Seevetal, Deutschland.
- /1.7/ OpenStreetMap und Mitwirkende; siehe Internet: <http://www.openstreetmap.org>, <http://opendatacommons.org>, <http://creativecommons.org>.
- /1.8/ European Environment Agency; CORINE Land Cover (CLC) 2012, Version 18.5.1; September 2016; Copenhagen, Denmark.
- /1.9/ Jarvis A., H.I. Reuter, A. Nelson, E. Guevara; Hole-filled seamless SRTM data V3; International Centre for Tropical Agriculture (CIAT); 2006; Washington, USA.
- /1.10/ Deutscher Wetterdienst; DWD Climate Data Center (CDC), Vieljährige mittlere Raster der Lufttemperatur (2m) für Deutschland 1981-2010, Version v1.0; Offenbach, Deutschland.

Normen

- /2.1/ International Electrotechnical Commission (IEC); IEC 61400-1, Wind turbines - Part 1: Design requirements; Edition 2, 1999-02; Geneva, Switzerland (Deutsche Fassung: Deutsches Institut für Normung e.V.; DIN EN 61400-1 (VDE 0127-1); Windenergieanlagen – Teil 1: Auslegungsanforderungen (IEC 61400-1:1999); August 2004; Berlin, Deutschland).
- /2.2/ International Electrotechnical Commission (IEC); IEC 61400-1, Wind turbines - Part 1: Design requirements; Edition 3, 2005-08; Geneva, Switzerland (Deutsche Fassung: Deutsches Institut für Normung e.V.; DIN EN 61400-1 (VDE 0127-1); Windenergieanlagen – Teil 1: Auslegungsanforderungen (IEC 61400-1:2005); Juli 2006; Berlin, Deutschland).
- /2.3/ International Electrotechnical Commission (IEC); IEC 61400-1, Amendment 1, Wind turbines - Part 1: Design requirements; Edition 3, 2010-10; Geneva, Switzerland (Deutsche Fassung: Deutsches Institut für Normung e.V.; DIN EN 61400-1 (VDE 0127-1):2011-08; Windenergieanlagen – Teil 1: Auslegungsanforderungen (IEC 61400-1:2005 + A1:2010); August 2011; Berlin, Deutschland).
- /2.4/ International Electrotechnical Commission (IEC); IEC 61400-1 Ed. 4, Wind turbines - Part 1: Design requirements; 88/521/CD Committee Draft, 22. Oktober 2015.



- /2.5/ Germanischer Lloyd Industrial Services GmbH; Guidelines for the Certification of Wind Turbines; 2010; Hamburg, Deutschland.
- /2.6/ Deutsches Institut für Bautechnik (DIBt); Richtlinie für Windkraftanlagen - Einwirkungen und Standsicherheitsnachweise für Turm und Gründung; Fassung Juni 1993; 2. Aufl., 1995; Berlin, Deutschland.
- /2.7/ Deutsches Institut für Bautechnik (DIBt); Richtlinie für Windkraftanlagen - Einwirkungen und Standsicherheitsnachweise für Turm und Gründung; Fassung März 2004; Berlin, Deutschland.
- /2.8/ Deutsches Institut für Bautechnik (DIBt); Richtlinie für Windkraftanlagen - Einwirkungen und Standsicherheitsnachweise für Turm und Gründung; Fassung Oktober 2012 sowie korrigierte Fassung März 2015; Berlin, Deutschland.
- /2.9/ Deutsches Institut für Normung e.V.; DIN EN 1991-1-4 und DIN EN 1991-1-4/NA (Nationaler Anhang); Eurocode 1: Einwirkungen auf Tragwerke - Teil 1-4: Allgemeine Einwirkungen - Windlasten; Dezember 2010; Berlin, Deutschland.
- /2.10/ /Deutsches Institut für Bautechnik (DIBt); Zuordnung der Windzonen nach Verwaltungsgrenzen, 'Windzonen_nach_Verwaltungsgrenzen.xls'; Fassung April 2015.
- /2.11/ DIN Deutsches Institut für Normung e.V.; DIN 4131; Antennentragwerke aus Stahl; November 1991; Berlin, Deutschland.
- /2.12/ Deutsches Institut für Normung e.V.; DIN ISO 2533; Normatmosphäre; Dezember 1979; Berlin, Deutschland.

Projektspezifisch

- /3.1/ anemos Gesellschaft für Umweltmeteorologie mbH; Winddaten zum Standort Sondershausen Großberndten; als Datei 'Weibull-Parameter-Großberndten_Ausbaustufe2_2019-01-18.docx' per E-Mail am 18.01.2018.
- /3.2/ Fluid & Energy Engineering GmbH & Co. KG; Dokumentation der Standortbesichtigung im Rahmen der Bewertung der Standorteignung von WEA am Standort Sondershausen - Großberndten; Referenz-Nr.: F2E-2017-TGW-017-P1; März 2018; Hamburg, Deutschland.
- /3.3/ Vestas Deutschland GmbH; Standorteignungsgutachten und verfügbare Typenprüfungen für Projekte in Deutschland; 09. März 2018; Berlin, Deutschland.
- /3.4/ TÜV Süd Industrie Service GmbH; Gutachtliche Stellungnahme für eine Typenprüfung - Lastannahmen; Prüfnummer 2093825-17-d Rev. 1; 07.07.2014; München, Deutschland. TÜV SÜD Industrie Service GmbH;
- /3.5/ Prüfbescheid zur Typenprüfung; Prüfnummer 2157791-4-d Rev.2; 27.09.2016; München, Deutschland.
- /3.6/ ENERCON GmbH; Angaben zu den Auslegungswerten per E-Mail vom Hersteller am 25.07.2017.

A.1 Allgemeine Daten

A.1.1 Einstellungen

Benutzername	Silva Mäusling, F2E
Kunde	Stadt Sondershausen Fachbereich Bau & Ordnung
Projektname	Sondershausen Großberndten
Variante	B
Referenznummer	F2E-2018-TGO-024
Revision	3
Software	Wake2e 3.9.9.5 WEA-Bibliothek Version 1.6.272
Koordinatensystem	UTM WGS84/ETRS89, Nord-Hemisphäre
Abstand der relevanten WEA	8.0D

A.1.2 Filter-Einstellungen

Geplante WEA	Angezeigt
Relevante WEA	Angezeigt
Vorhandene WEA	Eingabedaten angezeigt, Ergebnisse nicht angezeigt
Irrelevante WEA	Eingabedaten angezeigt, Ergebnisse nicht angezeigt
Inaktive WEA	Nicht angezeigt

A.1.3 Standortbesichtigung

Datum der Besichtigung	24.01.2018
Durchgeführt von	Kai Deponte, F2E
Ermittelte Geländekategorie	II - III
Orografisch relevante Struktur	Nein



A.2 Eingabedaten

A.2.1 Umgebungsturbulenzintensitäten

Methode Rauigkeitsdaten für jeden WEA-Standort aus den Landnutzungsdaten
Datensatz European Environment Agency; CORINE Land Cover (CLC) 2012, Version 18.5.1; September 2016; Copenhagen, Denmark.
Höhendaten Jarvis A., H.I. Reuter, A. Nelson, E. Guevara; Hole-filled seamless SRTM data V3;
 International Centre for Tropical Agriculture (CIAT); 2006; Washington, USA.

A.2.2 Windparkkonfiguration

Tabelle A.2.2.1: Windparkkonfiguration

WEA							Koordinaten		Turbulenzintensität		Datensatz-Nr.	
	Nr.	Bezeichnung	WEA-Typ	P _N [MW]	D [m]	z _{hub} [m]	Ost	Nord	Umgebung	Auslegung	Wind	Turbulenz
	1	P60	Vestas V150-4.0/4.2 4.2MW Mode PO1/PO1-0S	4.2	150	125	32618077	5693775	Repräsentativ	6	1	—
	2	P61	Vestas V150-4.0/4.2 4.2MW Mode PO1/PO1-0S	4.2	150	125	32618554	5693861	Repräsentativ	6	2	—
	3	P62	Vestas V150-4.0/4.2 4.2MW Mode PO1/PO1-0S	4.2	150	125	32617525	5692670	Repräsentativ	6	3	—
	4	P63	Vestas V150-4.0/4.2 4.2MW Mode PO1/PO1-0S	4.2	150	125	32618108	5692897	Repräsentativ	6	4	—
	5	P64	Vestas V150-4.0/4.2 4.2MW Mode PO1/PO1-0S	4.2	150	125	32618872	5693017	Repräsentativ	6	5	—
	6	P65	ENERCON E-92 2.35MW	2.35	92	104	32619300	5692393	Repräsentativ	5	6	—
	7	P66	ENERCON E-126 EP3 3.5MW 3.5MW Mode BM 0s	3.5	127	135	32619852	5693452	Repräsentativ	5	7	—
	8	P40	Vestas V150-4.0/4.2 4.2MW Mode PO1/PO1-0S	4.2	150	125	32617593	5693806	Repräsentativ	6	8	—
	9	P41	Vestas V150-4.0/4.2 4.2MW Mode PO1/PO1-0S	4.2	150	125	32617677	5693389	Repräsentativ	6	9	—
	10	P44	Vestas V150-4.0/4.2 4.2MW Mode PO1/PO1-0S	4.2	150	125	32618510	5693467	Repräsentativ	6	10	—
	11	P42	Vestas V150-4.0/4.2 4.2MW Mode PO1/PO1-0S	4.2	150	125	32617425	5692992	Repräsentativ	6	11	—
	12	P45	Vestas V150-4.0/4.2 4.2MW Mode PO1/PO1-0S	4.2	150	125	32618614	5692760	Repräsentativ	6	12	—
	13	P50	Vestas V150-4.0/4.2 4.2MW Mode PO1/PO1-0S	4.2	150	125	32619157	5693208	Repräsentativ	6	13	—
	14	P51	Vestas V150-4.0/4.2 4.2MW Mode PO1/PO1-0S	4.2	150	125	32619330	5692927	Repräsentativ	6	14	—
	15	P52	ENERCON E-138 EP3 3.5MW Mode OM 0s	3.5	138.6	131	32619844	5693272	Repräsentativ	5	15	—

Diese Tabelle wird auf der nächsten Seite fortgesetzt

Tabelle A.2.2.1: Windparkkonfiguration

WEA							Koordinaten		Turbulenzintensität		Datensatz-Nr.	
	Nr.	Bezeichnung	WEA-Typ	P _N [MW]	D [m]	z _{hub} [m]	Ost	Nord	Umgebung	Auslegung	Wind	Turbulenz
	16	B30	ENERCON E-82 E2 2.3MW	2.3	82	108.4	32619404	5693661	Charakteristisch	2	16	—
	17	B34	ENERCON E-82 E2 2.3MW	2.3	82	108.4	32619487	5693418	Charakteristisch	2	17	—
	18	B31	ENERCON E-82 E2 2.3MW	2.3	82	108.4	32619839	5693655	Charakteristisch	2	18	—
	19	B36	ENERCON E-82 E2 2.3MW	2.3	82	108.4	32620182	5693485	Charakteristisch	2	19	—
	20	B37	ENERCON E-82 E2 2.3MW	2.3	82	108.4	32620712	5693511	Charakteristisch	2	20	—
	21	B32	ENERCON E-82 E2 2.3MW	2.3	82	108.4	32620398	5693780	Charakteristisch	2	21	—
	22	B21	ENERCON E-82 E2 2.3MW	2.3	82	108.4	32618426	5692453	Charakteristisch	2	22	—
	23	B20	ENERCON E-82 E2 2.3MW	2.3	82	108.4	32617832	5692419	Charakteristisch	2	23	—
	24	B22	ENERCON E-82 E2 2.3MW	2.3	82	108.4	32619061	5692666	Charakteristisch	2	24	—

A.2.3 Auslegungswerte

Tabelle A.2.3.1: Auslegungswerte der Turbulenzintensität

Id	Turbulenzkategorie	Alle	3	4	5	6	7	8	9	10	11	12	13	14	15	16	17	18	19	20	21	22	23	24	25	26	27	28	29
2	DIBt 2004	—	42.0	34.5	30.0	27.0	24.9	23.3	22.0	21.0	20.2	19.5	18.9	18.4	18.0	17.6	17.3	17.0	16.7	16.5	16.3	16.1	15.9	15.8	15.6	15.5	15.3	15.2	15.1
5	IEC Ed.3/4 A	—	41.9	34.4	29.9	26.9	24.8	23.2	22.0	21.0	20.1	19.5	18.9	18.4	18.0	17.6	17.3	17.0	16.7	16.5	16.3	16.1	15.9	15.7	15.6	15.4	15.3	15.2	15.1
6	IEC Ed.3/4 B	—	36.6	30.1	26.2	23.6	21.7	20.3	19.2	18.3	17.6	17.0	16.5	16.1	15.7	15.4	15.1	14.9	14.6	14.4	14.2	14.1	13.9	13.8	13.6	13.5	13.4	13.3	13.2

A.2.4 Winddaten

Quelle Externe Datei
 Dateiname winddaten_sondershausen_grossberndten_rev3_varb.csv

Tabelle A.2.4.1: Wind-Datensatz "Wind 1"

	N	NNO	ONO	O	OSO	SSO	S	SSW	WSW	W	WNW	NNW	Mittelwerte über alle Richtungen		Koordinaten des Referenzpunkts	
A [m/s]	4.9	5.3	6	6.3	5.4	5	5.6	7.4	8.4	8.7	7.6	6.1	A [m/s]	7.10	Höhe über Grund [m]	125
k [-]	2.49	2.62	2.51	2.49	2.38	2.33	2.33	2.38	2.82	2.63	2.54	2.39	k [-]	2.280	Ost	32618077
Häufigkeit (100%=1)	0.0414	0.0416	0.0595	0.0731	0.0526	0.039	0.0497	0.1171	0.1856	0.1374	0.1265	0.0763	v _{ave} [m/s]	6.26	Nord	5693775

Tabelle A.2.4.1: Wind-Datensatz "Wind 2"

	N	NNO	ONO	O	OSO	SSO	S	SSW	WSW	W	WNW	NNW	Mittelwerte über alle Richtungen		Koordinaten des Referenzpunkts	
A [m/s]	5.1	5.5	6	6.2	5.2	5	5.7	7.7	8.6	8.6	7.3	6.3	A [m/s]	7.10	Höhe über Grund [m]	125
k [-]	2.45	2.61	2.51	2.49	2.38	2.34	2.32	2.4	2.81	2.62	2.54	2.4	k [-]	2.280	Ost	32618554
Häufigkeit (100%=1)	0.044	0.0441	0.0606	0.0707	0.0506	0.039	0.0508	0.1238	0.1856	0.1332	0.1215	0.076	v _{ave} [m/s]	6.28	Nord	5693861

Tabelle A.2.4.1: Wind-Datensatz "Wind 3"

	N	NNO	ONO	O	OSO	SSO	S	SSW	WSW	W	WNW	NNW	Mittelwerte über alle Richtungen		Koordinaten des Referenzpunkts	
A [m/s]	4.7	5	5.9	6.5	5.6	4.9	5.5	7.2	8.4	8.4	7.8	6	A [m/s]	7.00	Höhe über Grund [m]	125
k [-]	2.53	2.63	2.51	2.49	2.38	2.33	2.34	2.38	2.82	2.64	2.53	2.39	k [-]	2.290	Ost	32617525
Häufigkeit (100%=1)	0.0396	0.0402	0.0582	0.0746	0.0539	0.0393	0.0491	0.113	0.1849	0.1407	0.1301	0.0763	v _{ave} [m/s]	6.21	Nord	5692670

Tabelle A.2.4.1: Wind-Datensatz "Wind 4"

	N	NNO	ONO	O	OSO	SSO	S	SSW	WSW	W	WNW	NNW	Mittelwerte über alle Richtungen		Koordinaten des Referenzpunkts	
A [m/s]	4.8	5.1	5.9	6.5	5.6	5	5.6	7.3	8.5	8.5	7.9	6.2	A [m/s]	7.10	Höhe über Grund [m]	125
k [-]	2.53	2.62	2.51	2.49	2.38	2.33	2.33	2.38	2.82	2.64	2.53	2.37	k [-]	2.280	Ost	32618108
Häufigkeit (100%=1)	0.0404	0.0407	0.0578	0.0735	0.0538	0.0399	0.0504	0.1153	0.183	0.1384	0.1289	0.0779	v _{ave} [m/s]	6.28	Nord	5692897

Tabelle A.2.4.1: Wind-Datensatz "Wind 5"

	N	NNO	ONO	O	OSO	SSO	S	SSW	WSW	W	WNW	NNW	Mittelwerte über alle Richtungen		Koordinaten des Referenzpunkts	
A [m/s]	4.8	5.2	5.9	6.6	5.8	5.3	5.9	7.4	8.6	8.9	8.2	6.5	A [m/s]	7.30	Höhe über Grund [m]	125
k [-]	2.56	2.62	2.51	2.49	2.38	2.33	2.29	2.39	2.82	2.64	2.53	2.38	k [-]	2.280	Ost	32618872
Häufigkeit (100%=1)	0.0402	0.0398	0.0558	0.0729	0.0558	0.0412	0.0529	0.1134	0.1786	0.137	0.1321	0.0802	v _{ave} [m/s]	6.45	Nord	5693017

Tabelle A.2.4.1: Wind-Datensatz "Wind 6"

	N	NNO	ONO	O	OSO	SSO	S	SSW	WSW	W	WNW	NNW	Mittelwerte über alle Richtungen		Koordinaten des Referenzpunkts	
A [m/s]	4.6	5	5.7	6.2	5.4	4.9	5.5	6.9	8.2	8.3	7.7	6.2	A [m/s]	6.90	Höhe über Grund [m]	104
k [-]	2.57	2.66	2.57	2.56	2.38	2.34	2.29	2.38	2.81	2.65	2.57	2.4	k [-]	2.290	Ost	32619300
Häufigkeit (100%=1)	0.0403	0.0403	0.0565	0.0731	0.0552	0.0409	0.0525	0.1142	0.1798	0.1369	0.1308	0.0795	v _{ave} [m/s]	6.10	Nord	5692393

Tabelle A.2.4.1: Wind-Datensatz "Wind 7"

	N	NNO	ONO	O	OSO	SSO	S	SSW	WSW	W	WNW	NNW	Mittelwerte über alle Richtungen		Koordinaten des Referenzpunkts	
A [m/s]	5.5	5.8	6.3	6.5	5.6	5.5	6.5	8.3	9.2	9.2	8.1	7	A [m/s]	7.60	Höhe über Grund [m]	135
k [-]	2.45	2.58	2.49	2.47	2.37	2.34	2.28	2.4	2.8	2.62	2.51	2.38	k [-]	2.270	Ost	32619852
Häufigkeit (100%=1)	0.0446	0.0431	0.0569	0.0693	0.0529	0.0415	0.0548	0.1234	0.1769	0.1296	0.1247	0.0825	v _{ave} [m/s]	6.77	Nord	5693452

Tabelle A.2.4.1: Wind-Datensatz "Wind 8"

	N	NNO	ONO	O	OSO	SSO	S	SSW	WSW	W	WNW	NNW	Mittelwerte über alle Richtungen		Koordinaten des Referenzpunkts	
A [m/s]	4.9	5.1	6.1	6.5	5.6	5.1	5.7	7.2	8.4	8.8	7.9	6.1	A [m/s]	7.10	Höhe über Grund [m]	125
k [-]	2.51	2.63	2.51	2.49	2.38	2.33	2.33	2.37	2.82	2.63	2.54	2.39	k [-]	2.280	Ost	32617593
Häufigkeit (100%=1)	0.0404	0.0406	0.0591	0.0742	0.0535	0.0391	0.0494	0.113	0.1858	0.1393	0.1287	0.0767	v _{ave} [m/s]	6.32	Nord	5693806

Tabelle A.2.4.1: Wind-Datensatz "Wind 9"

	N	NNO	ONO	O	OSO	SSO	S	SSW	WSW	W	WNW	NNW	Mittelwerte über alle Richtungen		Koordinaten des Referenzpunkts	
A [m/s]	4.7	5	5.9	6.5	5.5	4.9	5.5	7.1	8.3	8.6	7.8	5.9	A [m/s]	7.00	Höhe über Grund [m]	125
k [-]	2.52	2.63	2.51	2.49	2.38	2.33	2.33	2.37	2.82	2.64	2.53	2.4	k [-]	2.270	Ost	32617677
Häufigkeit (100%=1)	0.0395	0.0402	0.0594	0.075	0.0536	0.0385	0.0488	0.112	0.1879	0.1416	0.1286	0.0749	v _{ave} [m/s]	6.21	Nord	5693389

Tabelle A.2.4.1: Wind-Datensatz "Wind 10"

	N	NNO	ONO	O	OSO	SSO	S	SSW	WSW	W	WNW	NNW	Mittelwerte über alle Richtungen		Koordinaten des Referenzpunkts	
A [m/s]	4.9	5.1	5.8	6.3	5.3	4.9	5.6	7.3	8.5	8.6	7.5	6.1	A [m/s]	7.00	Höhe über Grund [m]	125
k [-]	2.49	2.62	2.51	2.49	2.38	2.33	2.33	2.38	2.81	2.63	2.53	2.38	k [-]	2.270	Ost	32618510
Häufigkeit (100%=1)	0.0416	0.0418	0.0591	0.0728	0.0526	0.0392	0.0501	0.1181	0.1855	0.1369	0.1258	0.0764	v _{ave} [m/s]	6.22	Nord	5693467

Tabelle A.2.4.1: Wind-Datensatz "Wind 11"

	N	NNO	ONO	O	OSO	SSO	S	SSW	WSW	W	WNW	NNW	Mittelwerte über alle Richtungen		Koordinaten des Referenzpunkts	
A [m/s]	4.7	5	5.9	6.5	5.6	4.9	5.5	7.1	8.3	8.3	7.8	6	A [m/s]	7.00	Höhe über Grund [m]	125
k [-]	2.51	2.63	2.51	2.49	2.38	2.33	2.34	2.38	2.82	2.65	2.53	2.38	k [-]	2.290	Ost	32617425
Häufigkeit (100%=1)	0.0401	0.0404	0.0584	0.0743	0.0537	0.0394	0.0492	0.1134	0.1849	0.1404	0.1293	0.0766	v _{ave} [m/s]	6.16	Nord	5692992

Tabelle A.2.4.1: Wind-Datensatz "Wind 12"

	N	NNO	ONO	O	OSO	SSO	S	SSW	WSW	W	WNW	NNW	Mittelwerte über alle Richtungen		Koordinaten des Referenzpunkts	
A [m/s]	4.9	5.1	5.9	6.6	5.8	5.3	5.9	7.4	8.6	8.8	8.3	6.5	A [m/s]	7.30	Höhe über Grund [m]	125
k [-]	2.58	2.62	2.51	2.49	2.38	2.33	2.3	2.38	2.82	2.64	2.53	2.37	k [-]	2.280	Ost	32618614
Häufigkeit (100%=1)	0.0399	0.0396	0.0557	0.0731	0.0559	0.0413	0.0529	0.1129	0.1784	0.1373	0.1325	0.0805	v _{ave} [m/s]	6.45	Nord	5692760

Tabelle A.2.4.1: Wind-Datensatz "Wind 13"

	N	NNO	ONO	O	OSO	SSO	S	SSW	WSW	W	WNW	NNW	Mittelwerte über alle Richtungen		Koordinaten des Referenzpunkts	
A [m/s]	4.9	5.3	5.9	6.5	5.7	5.3	6	7.5	8.7	8.9	8	6.5	A [m/s]	7.30	Höhe über Grund [m]	125
k [-]	2.53	2.62	2.51	2.49	2.38	2.33	2.29	2.39	2.82	2.64	2.54	2.38	k [-]	2.280	Ost	32619157
Häufigkeit (100%=1)	0.0408	0.0404	0.0561	0.0724	0.0553	0.0411	0.0531	0.115	0.1787	0.1358	0.131	0.0803	v _{ave} [m/s]	6.45	Nord	5693208

Tabelle A.2.4.1: Wind-Datensatz "Wind 14"

	N	NNO	ONO	O	OSO	SSO	S	SSW	WSW	W	WNW	NNW	Mittelwerte über alle Richtungen		Koordinaten des Referenzpunkts	
A [m/s]	4.9	5.3	5.9	6.4	5.7	5.3	6	7.4	8.6	8.9	8.1	6.6	A [m/s]	7.30	Höhe über Grund [m]	125
k [-]	2.56	2.62	2.51	2.49	2.38	2.33	2.29	2.39	2.82	2.63	2.53	2.38	k [-]	2.280	Ost	32619330
Häufigkeit (100%=1)	0.0407	0.0402	0.0553	0.0721	0.056	0.0418	0.0543	0.1144	0.1767	0.1351	0.1319	0.0817	v _{ave} [m/s]	6.44	Nord	5692927

Tabelle A.2.4.1: Wind-Datensatz "Wind 15"

	N	NNO	ONO	O	OSO	SSO	S	SSW	WSW	W	WNW	NNW	Mittelwerte über alle Richtungen		Koordinaten des Referenzpunkts	
A [m/s]	5.3	5.7	6.2	6.5	5.6	5.4	6.3	8	9.1	9.1	8.1	6.8	A [m/s]	7.50	Höhe über Grund [m]	131
k [-]	2.47	2.6	2.5	2.48	2.37	2.34	2.29	2.4	2.81	2.63	2.52	2.38	k [-]	2.270	Ost	32619844
Häufigkeit (100%=1)	0.0433	0.0423	0.0569	0.0704	0.0535	0.0412	0.0539	0.121	0.1781	0.1317	0.1262	0.0814	v _{ave} [m/s]	6.66	Nord	5693272

Tabelle A.2.4.1: Wind-Datensatz "Wind 16"

	N	NNO	ONO	O	OSO	SSO	S	SSW	WSW	W	WNW	NNW	Mittelwerte über alle Richtungen		Koordinaten des Referenzpunkts	
A [m/s]	5.2	5.6	6.1	6.2	5.3	5.1	5.9	7.8	8.7	8.5	7.3	6.4	A [m/s]	7.10	Höhe über Grund [m]	108
k [-]	2.45	2.65	2.56	2.55	2.37	2.35	2.3	2.42	2.8	2.64	2.56	2.42	k [-]	2.290	Ost	32619404
Häufigkeit (100%=1)	0.0462	0.0451	0.0593	0.0687	0.0502	0.0401	0.0525	0.1288	0.1811	0.1291	0.1195	0.0794	v _{ave} [m/s]	6.33	Nord	5693661

Tabelle A.2.4.1: Wind-Datensatz "Wind 17"

	N	NNO	ONO	O	OSO	SSO	S	SSW	WSW	W	WNW	NNW	Mittelwerte über alle Richtungen		Koordinaten des Referenzpunkts	
A [m/s]	5.1	5.4	5.9	6.3	5.4	5.2	6	7.6	8.6	8.6	7.6	6.5	A [m/s]	7.10	Höhe über Grund [m]	108
k [-]	2.48	2.65	2.56	2.55	2.37	2.35	2.28	2.41	2.81	2.64	2.56	2.41	k [-]	2.290	Ost	32619487
Häufigkeit (100%=1)	0.0439	0.0426	0.0571	0.07	0.0531	0.0412	0.054	0.122	0.178	0.131	0.1258	0.0813	v _{ave} [m/s]	6.31	Nord	5693418

Tabelle A.2.4.1: Wind-Datensatz "Wind 18"

	N	NNO	ONO	O	OSO	SSO	S	SSW	WSW	W	WNW	NNW	Mittelwerte über alle Richtungen		Koordinaten des Referenzpunkts	
A [m/s]	5.4	5.6	5.9	6.2	5.4	5.3	6.2	7.8	8.7	8.5	7.6	6.6	A [m/s]	7.20	Höhe über Grund [m]	108
k [-]	2.49	2.65	2.56	2.55	2.37	2.35	2.27	2.43	2.8	2.64	2.56	2.4	k [-]	2.310	Ost	32619839
Häufigkeit (100%=1)	0.0461	0.0438	0.0564	0.0677	0.0525	0.0421	0.0564	0.126	0.1745	0.1269	0.1231	0.0845	v _{ave} [m/s]	6.37	Nord	5693655

Tabelle A.2.4.1: Wind-Datensatz "Wind 19"

	N	NNO	ONO	O	OSO	SSO	S	SSW	WSW	W	WNW	NNW	Mittelwerte über alle Richtungen		Koordinaten des Referenzpunkts	
A [m/s]	5.3	5.6	5.9	6.2	5.4	5.2	6.1	7.8	8.8	8.6	7.7	6.5	A [m/s]	7.20	Höhe über Grund [m]	108
k [-]	2.51	2.65	2.56	2.55	2.37	2.35	2.27	2.42	2.8	2.64	2.56	2.4	k [-]	2.290	Ost	32620182
Häufigkeit (100%=1)	0.045	0.0434	0.0565	0.0685	0.053	0.0419	0.0556	0.1243	0.1756	0.1283	0.1242	0.0837	v _{ave} [m/s]	6.40	Nord	5693485

Tabelle A.2.4.1: Wind-Datensatz "Wind 20"

	N	NNO	ONO	O	OSO	SSO	S	SSW	WSW	W	WNW	NNW	Mittelwerte über alle Richtungen		Koordinaten des Referenzpunkts	
A [m/s]	5.4	5.6	5.9	6.1	5.3	5.2	6.1	7.9	8.8	8.7	7.7	6.6	A [m/s]	7.20	Höhe über Grund [m]	108
k [-]	2.52	2.65	2.56	2.55	2.37	2.35	2.27	2.42	2.8	2.64	2.56	2.41	k [-]	2.280	Ost	32620712
Häufigkeit (100%=1)	0.0452	0.0436	0.0567	0.0683	0.0529	0.0419	0.0556	0.1255	0.1758	0.1278	0.1238	0.0831	v _{ave} [m/s]	6.41	Nord	5693511

Tabelle A.2.4.1: Wind-Datensatz "Wind 21"

	N	NNO	ONO	O	OSO	SSO	S	SSW	WSW	W	WNW	NNW	Mittelwerte über alle Richtungen		Koordinaten des Referenzpunkts	
A [m/s]	5.3	5.5	5.9	6.1	5.3	5.2	6.1	7.7	8.7	8.6	7.7	6.5	A [m/s]	7.20	Höhe über Grund [m]	108
k [-]	2.53	2.65	2.56	2.55	2.37	2.35	2.28	2.4	2.81	2.65	2.56	2.4	k [-]	2.290	Ost	32620398
Häufigkeit (100%=1)	0.0436	0.0425	0.0566	0.0698	0.0536	0.0414	0.0543	0.1217	0.1771	0.1307	0.1261	0.0824	v _{ave} [m/s]	6.38	Nord	5693780

Tabelle A.2.4.1: Wind-Datensatz "Wind 22"

	N	NNO	ONO	O	OSO	SSO	S	SSW	WSW	W	WNW	NNW	Mittelwerte über alle Richtungen		Koordinaten des Referenzpunkts	
A [m/s]	4.7	4.8	5.8	6.4	5.7	5.1	5.5	6.8	8.1	8.4	8.1	6.2	A [m/s]	6.90	Höhe über Grund [m]	108
k [-]	2.62	2.65	2.56	2.54	2.38	2.34	2.29	2.38	2.81	2.65	2.56	2.39	k [-]	2.290	Ost	32618426
Häufigkeit (100%=1)	0.0392	0.0387	0.0553	0.0736	0.057	0.0418	0.0526	0.1097	0.1768	0.14	0.1354	0.0799	v _{ave} [m/s]	6.16	Nord	5692453

Tabelle A.2.4.1: Wind-Datensatz "Wind 23"

	N	NNO	ONO	O	OSO	SSO	S	SSW	WSW	W	WNW	NNW	Mittelwerte über alle Richtungen		Koordinaten des Referenzpunkts	
A [m/s]	4.6	4.9	5.7	6.3	5.5	4.9	5.4	6.8	8	8.2	7.7	6	A [m/s]	6.80	Höhe über Grund [m]	108
k [-]	2.6	2.65	2.56	2.55	2.38	2.34	2.29	2.38	2.81	2.65	2.56	2.39	k [-]	2.310	Ost	32617832
Häufigkeit (100%=1)	0.0396	0.0398	0.0565	0.0735	0.0552	0.0407	0.0517	0.1126	0.1803	0.1386	0.1321	0.0793	v _{ave} [m/s]	6.02	Nord	5692419

Tabelle A.2.4.1: Wind-Datensatz "Wind 24"

	N	NNO	ONO	O	OSO	SSO	S	SSW	WSW	W	WNW	NNW	Mittelwerte über alle Richtungen		Koordinaten des Referenzpunkts	
A [m/s]	4.7	5.1	5.8	6.3	5.6	5.1	5.7	7	8.3	8.5	7.9	6.3	A [m/s]	7.00	Höhe über Grund [m]	108
k [-]	2.58	2.65	2.56	2.55	2.38	2.34	2.29	2.38	2.81	2.65	2.56	2.4	k [-]	2.290	Ost	32619061
Häufigkeit (100%=1)	0.0401	0.0401	0.0561	0.0731	0.0556	0.0411	0.0529	0.1135	0.179	0.137	0.1317	0.08	v _{ave} [m/s]	6.21	Nord	5692666

A.2.5 Betriebsbeschränkungen (BBS)

A.2.5.1 Situation vor dem Zubau

Für diese Berechnungsvariante wurden keine Einschränkungen definiert.

A.2.5.2 Situation nach dem Zubau

Für diese Berechnungsvariante wurden keine Einschränkungen definiert.

A.2.5.3 Berechnungsvariante “Woehlerlinienkoeffizient m=4”

Für diese Berechnungsvariante wurden keine Einschränkungen definiert.

A.2.5.4 Berechnungsvariante “Woehlerlinienkoeffizient m=8”

Für diese Berechnungsvariante wurden keine Einschränkungen definiert.

A.2.5.5 Berechnungsvariante “Betriebsbeschränkungen”

Tabelle A.2.5.5.1: Betriebsbeschränkungen der Berechnungsvariante “Betriebsbeschränkungen”

Nr.	Eingeschränkte WEA	Zu schützende WEA	Abschaltung	Betriebsmodus	β [°]	γ_{start} [°]	γ_{stop} [°]	v_{start} [m/s]	v_{stop} [m/s]
1	WEA 2	WEA 1	X	-	-	59.3	102.9	3.5	7.5
	WEA 2		-	4.0MW Mode SO3	-	59.3	102.9	7.5	8.5
	WEA 8		X	-	-	253.2	296.8	3.5	7.5
	WEA 8		-	4.0MW Mode SO3	-	253.2	296.8	7.5	8.5
	WEA 8		X	-	-	253.2	296.8	8.5	9.5
	WEA 8		-	4.0MW Mode SO2 (not for HH 145 and 155m)	-	253.2	296.8	9.5	11.5
	WEA 9		X	-	-	208.4	246.2	4.5	6.5
	WEA 9		-	4.0MW Mode SO3	-	208.4	246.2	6.5	10.5
2	WEA 1	WEA 2	X	-	-	239.3	282.9	3.5	7.5
	WEA 1		-	4.0MW Mode SO2 (not for HH 145 and 155m)	-	239.3	282.9	7.5	10.5
	WEA 10		X	-	-	160.7	214.7	4.5	6.5
	WEA 10		-	4.0MW Mode SO3	-	160.7	214.7	6.5	8.5
3	WEA 11	WEA 3	X	-	-	311.8	16.4	v-in	8.5
	WEA 11		-	4.0MW Mode SO2 (not for HH 145 and 155m)	-	311.8	16.4	8.5	10.5
4	WEA 3	WEA 4	X	-	-	233.4	266.8	3.5	7.5
	WEA 3		-	4.0MW Mode SO3	-	233.4	266.8	7.5	8.5
	WEA 3		-	4.0MW Mode SO2 (not for HH 145 and 155m)	-	233.4	266.8	8.5	9.5
	WEA 9		X	-	-	304.1	336.1	4.5	6.5
	WEA 9		-	4.0MW Mode SO3	-	304.1	336.1	6.5	8.5
5	WEA 12	WEA 5	X	-	-	196.8	256.0	v-in	9.5
	WEA 12		-	4.0MW Mode SO3	-	196.8	256.0	9.5	10.5
	WEA 12		-	4.0MW Mode SO2 (not for HH 145 and 155m)	-	196.8	256.0	10.5	12.5
	WEA 13		X	-	-	25.8	89.2	v-in	8.5
	WEA 13		-	4.0MW Mode SO2 (not for HH 145 and 155m)	-	25.8	89.2	8.5	9.5

Diese Tabelle wird auf der nächsten Seite fortgesetzt

Tabelle A.2.5.5.1: Betriebsbeschränkungen der Berechnungsvariante "Betriebsbeschränkungen"

Nr.	Eingeschränkte WEA	Zu schützende WEA	Abschaltung	Betriebsmodus	β [°]	γ_{start} [°]	γ_{stop} [°]	v_{start} [m/s]	v_{stop} [m/s]
	WEA 13		-	4.0MW Mode SO3	-	25.8	89.2	9.5	10.5
	WEA 14		X	-	-	79.8	125.2	3.5	9.5
6	WEA 15	WEA 7	X	-	-	120.6	247.2	v-in	v-out
	WEA 17		-	-	6	246.9	285.1	10.2	11.2
	WEA 18		-	-	5	321.5	33.9	v-in	3.4
	WEA 18		-	-	7	321.5	33.9	3.4	4.4
	WEA 18		-	-	8	321.5	33.9	4.4	5.3
	WEA 18		-	-	9	321.5	33.9	5.3	6.3
	WEA 18		-	-	10	321.5	33.9	6.3	7.3
	WEA 18		-	-	11	321.5	33.9	7.3	9.2
	WEA 18		-	-	13	321.5	33.9	9.2	10.2
	WEA 18		-	-	5	321.5	33.9	10.2	11.2
7	WEA 1	WEA 8	X	-	-	73.2	116.8	3.5	7.5
	WEA 1		-	4.0MW Mode SO2 (not for HH 145 and 155m)	-	73.2	116.8	7.5	8.5
	WEA 1		-	4.0MW Mode SO1 (not for HH 145m)	-	73.2	116.8	8.5	9.5
8	WEA 1	WEA 9	X	-	-	28.4	66.2	v-in	10.5
	WEA 1		-	4.0MW Mode SO3	-	28.4	66.2	10.5	11.5
	WEA 1		-	4.0MW Mode 0/0-0S	-	28.4	66.2	11.5	12.5
	WEA 3		X	-	-	179.1	207.5	v-in	7.5
	WEA 3		-	4.0MW Mode SO1 (not for HH 145m)	-	179.1	207.5	7.5	8.5
	WEA 4		X	-	-	124.1	156.1	v-in	5.5
	WEA 4		-	4.0MW Mode SO1 (not for HH 145m)	-	124.1	156.1	5.5	6.5
9	WEA 1	WEA 10	X	-	-	287.0	326.6	v-in	7.5
	WEA 1		-	4.0MW Mode SO3	-	287.0	326.6	7.5	9.5
	WEA 1		-	4.0MW Mode SO2 (not for HH 145 and 155m)	-	287.0	326.6	9.5	10.5
	WEA 2		X	-	-	340.7	34.7	3.5	6.5
	WEA 2		-	4.0MW Mode SO3	-	340.7	34.7	6.5	8.5
10	WEA 3	WEA 11	X	-	-	131.8	196.4	3.5	7.5
	WEA 3		-	4.0MW Mode SO1 (not for HH 145m)	-	131.8	196.4	7.5	8.5
	WEA 4		X	-	-	84.0	114.4	4.5	5.5
11	WEA 3	WEA 12	X	-	-	257.1	276.1	v-in	10.5

Diese Tabelle wird auf der nächsten Seite fortgesetzt

Tabelle A.2.5.5.1: Betriebsbeschränkungen der Berechnungsvariante "Betriebsbeschränkungen"

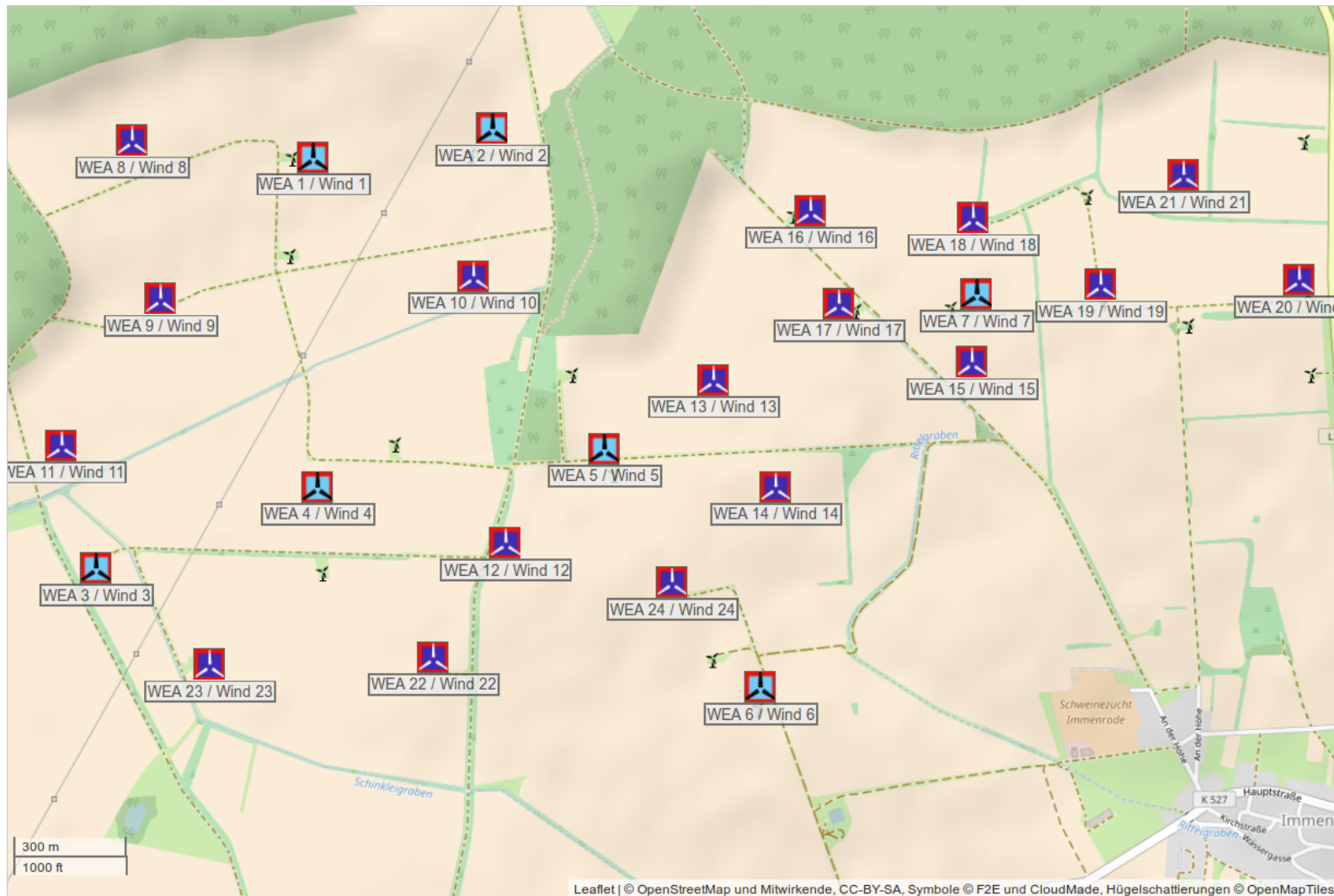
Nr.	Eingeschränkte WEA	Zu schützende WEA	Abschaltung	Betriebsmodus	β [°]	γ_{start} [°]	γ_{stop} [°]	v_{start} [m/s]	v_{stop} [m/s]
	WEA 3		-	4.0MW Mode SO2 (not for HH 145 and 155m)	-	257.1	276.1	10.5	11.5
	WEA 3		X	-	-	257.1	276.1	11.5	v-out
	WEA 4		X	-	-	266.4	306.6	v-in	v-out
	WEA 5		X	-	-	16.8	76.0	v-in	11.5
	WEA 5		-	4.0MW Mode SO2 (not for HH 145 and 155m)	-	16.8	76.0	11.5	13.5
	WEA 5		-	4.0MW Mode 0/0-0S	-	16.8	76.0	13.5	v-out
	WEA 6		X	-	-	109.2	129.8	v-in	7.3
	WEA 6		-	-	8	109.2	129.8	7.3	8.3
12	WEA 1	WEA 13	-	4.0MW Mode SO3	-	290.5	307.5	8.5	9.5
	WEA 1		X	-	-	290.5	307.5	9.5	v-out
	WEA 2		X	-	-	306.9	330.3	v-in	8.5
	WEA 2		-	4.0MW Mode SO3	-	306.9	330.3	8.5	9.5
	WEA 2		-	4.0MW Mode SO2 (not for HH 145 and 155m)	-	306.9	330.3	9.5	10.5
	WEA 4		X	-	-	245.3	264.3	v-in	9.5
	WEA 4		-	4.0MW Mode SO3	-	245.3	264.3	9.5	10.5
	WEA 4		X	-	-	245.3	264.3	10.5	20.5
	WEA 5		X	-	-	205.8	269.2	v-in	v-out
	WEA 7		X	-	-	59.1	84.9	v-in	4.5
	WEA 7		-	-	8	59.1	84.9	4.5	5.6
	WEA 7		-	-	7	59.1	84.9	5.6	6.6
	WEA 7		-	-	10	59.1	84.9	6.6	7.6
	WEA 7		X	-	-	59.1	84.9	7.6	10.6
13	WEA 4	WEA 14	X	-	-	261.4	278.4	12.5	v-out
	WEA 5		X	-	-	259.8	305.2	v-in	7.5
	WEA 5		-	4.0MW Mode SO3	-	259.8	305.2	7.5	9.5
	WEA 5		X	-	-	259.8	305.2	9.5	v-out
	WEA 6		X	-	-	169.5	199.7	12.2	v-out
	WEA 7		X	-	-	33.3	59.1	12.6	v-out
14	WEA 7	WEA 15	X	-	-	302.2	65.6	v-in	v-out
15	WEA 2	WEA 17	X	-	-	288.5	304.9	11.7	22.9
	WEA 2		-	4.0MW Mode 0/0-0S	-	288.5	304.9	22.9	24.0

Diese Tabelle wird auf der nächsten Seite fortgesetzt

Tabelle A.2.5.5.1: Betriebsbeschränkungen der Berechnungsvariante "Betriebsbeschränkungen"

Nr.	Eingeschränkte WEA	Zu schützende WEA	Abschaltung	Betriebsmodus	β [°]	γ_{start} [°]	γ_{stop} [°]	v_{start} [m/s]	v_{stop} [m/s]
	WEA 2		X	-	-	288.5	304.9	24.0	25.0
	WEA 5		X	-	-	226.6	249.8	12.7	24.0
	WEA 7		X	-	-	65.1	106.9	v-in	4.6
	WEA 7		-	-	12	65.1	106.9	4.6	5.7
	WEA 7		-	-	11	65.1	106.9	5.7	6.7
	WEA 7		-	-	9	65.1	106.9	6.7	7.7
	WEA 7		-	-	8	65.1	106.9	7.7	8.8
	WEA 7		-	-	7	65.1	106.9	8.8	9.8
	WEA 7		-	-	6	65.1	106.9	9.8	11.8
	WEA 7		-	-	14	65.1	106.9	11.8	12.9
	WEA 7		X	-	-	65.1	106.9	12.9	v-out
16	WEA 7	WEA 18	X	-	-	137.8	217.6	v-in	v-out
17	WEA 7	WEA 19	-	-	1	242.4	288.8	4.6	5.7
	WEA 7		-	-	2	242.4	288.8	5.7	6.7
	WEA 7		-	-	3	242.4	288.8	6.7	7.7
	WEA 7		-	-	4	242.4	288.8	7.7	8.8
	WEA 7		-	-	6	242.4	288.8	8.8	11.8
18	WEA 3	WEA 23	-	4.0MW Mode SO1 (not for HH 145m)	-	288.8	332.4	6.6	8.7
19	WEA 5	WEA 24	X	-	-	311.3	354.7	4.6	7.6
	WEA 5		-	4.0MW Mode SO1 (not for HH 145m)	-	311.3	354.7	7.6	8.7

A.2.6 Karte des Windparks



A.2.7 Abstände zwischen aktiven Windenergieanlagen

Table A.2.7.1: Abstände zu den nächsten fünf aktiven WEA in Rotordurchmessern der jeweiligen Nachbar-WEA

	WEA		Nachbar 1		Nachbar 2		Nachbar 3		Nachbar 4		Nachbar 5	
	Nr.	Bezeichnung	Id	Entfernung								
	1	P60	2	3.23	8	3.23	10	3.54	9	3.71	4	5.86
	2	P61	10	2.64	1	3.23	13	5.93	5	6.01	8	6.42
	3	P62	11	2.25	4	4.17	23	4.84	9	4.9	12	7.28
	4	P63	12	3.49	3	4.17	9	4.36	11	4.6	10	4.65
	5	P64	13	2.29	12	2.43	14	3.11	10	3.85	24	4.86
	6	P65	14	3.57	24	4.42	5	5.04	12	5.19	13	5.52
	7	P66	15	1.3	18	2.48	19	4.04	17	4.47	13	4.91
	8	P40	9	2.84	1	3.23	11	5.54	2	6.42	10	6.52
	9	P41	8	2.84	11	3.13	1	3.71	4	4.36	3	4.9
	10	P44	2	2.64	1	3.54	5	3.85	13	4.65	4	4.65
	11	P42	3	2.25	9	3.13	4	4.6	8	5.54	1	6.79
	12	P45	5	2.43	4	3.49	22	4.39	13	4.69	10	4.76
	13	P50	14	2.2	5	2.29	10	4.65	12	4.69	17	4.77
	14	P51	13	2.2	5	3.11	15	4.47	24	4.57	12	4.9
	15	P52	7	1.42	14	4.13	13	4.6	18	4.67	17	4.7
	16	B30	17	3.13	13	3.44	7	3.89	15	4.24	14	4.92
	17	B34	13	2.61	15	2.78	7	2.89	16	3.13	14	3.44
	18	B31	7	1.6	15	2.76	19	4.67	17	5.18	16	5.31
	19	B36	7	2.61	15	2.88	21	4.46	18	4.67	20	6.47
	20	B37	21	5.04	19	6.47	15	6.5	7	6.79	14	10
	21	B32	19	4.46	7	5.02	20	5.04	15	5.42	18	6.99
	22	B21	12	2.4	4	3.64	5	4.79	3	6.18	10	6.78
	23	B20	3	2.64	4	3.68	11	4.69	12	5.69	9	6.55

Diese Tabelle wird auf der nächsten Seite fortgesetzt

Tabelle A.2.7.1: Abstände zu den nächsten fünf aktiven WEA in Rotordurchmessern der jeweiligen Nachbar-WEA

Nr.	WEA		Nachbar 1		Nachbar 2		Nachbar 3		Nachbar 4		Nachbar 5	
	Bezeichnung		Id	Entfernung								
24	B22		14	2.5	5	2.66	12	3.05	13	3.67	6	3.94



A.3 Ergebnisse

A.3.1 Situation vor dem Zubau

BBS definiert Nein
 Einfluss der Orografie bewerten Ja
 Ist Vorherfall Ja

Tabelle A.3.1.1: Effektive Turbulenzintensitäten auf Nabenhöhe der jeweiligen WEA [%]

WEA				Ergebnisse																												
	Nr.	Bezeichnung	m	Alle	3	4	5	6	7	8	9	10	11	12	13	14	15	16	17	18	19	20	21	22	23	24	25	26	27	28	29	
	8	P40	10	—	33.1	28.8	25.7	23.2	21.2	19.5	17.7	16.2	15.3	14.7	14.2	13.8	13.4	13.1	12.8	12.6	12.3	12.1	12.1	12.0	12.0	12.0	—	—	—	—	—	
	9	P41	10	—	35.8	32.1	28.6	25.8	23.4	21.4	19.3	17.4	15.9	15.0	14.4	13.9	13.5	13.1	12.8	12.6	12.3	12.1	12.1	12.1	12.1	12.1	—	—	—	—	—	
	10	P44	10	—	32.2	27.2	24.0	21.8	20.2	18.9	17.7	16.5	15.6	14.9	14.3	13.9	13.5	13.1	12.8	12.5	12.3	12.1	12.1	12.0	12.0	11.9	—	—	—	—	—	
	11	P42	10	—	33.6	29.5	26.1	23.3	20.9	18.8	16.9	15.7	15.0	14.4	14.0	13.6	13.3	13.1	12.8	12.6	12.4	12.2	12.2	12.2	12.2	12.2	—	—	—	—	—	
	12	P45	10	—	34.0	29.0	25.9	23.7	22.1	20.9	19.8	19.0	18.3	15.9	14.5	13.8	13.3	13.0	12.7	12.4	12.2	12.1	12.1	12.0	12.0	12.0	—	—	—	—	—	
	13	P50	10	—	36.6	33.0	29.7	26.8	24.4	22.3	20.0	18.0	16.5	15.1	14.3	13.8	13.3	13.0	12.7	12.4	12.2	12.0	11.9	11.9	11.9	11.8	—	—	—	—	—	
	14	P51	10	—	39.8	37.3	34.1	31.4	29.1	27.0	24.3	21.7	20.1	17.5	15.7	14.7	13.9	13.3	12.9	12.5	12.3	12.0	12.0	11.9	11.8	11.8	—	—	—	—	—	
	15	P52	10	—	36.8	31.3	28.0	25.7	24.0	22.7	21.5	20.6	19.9	17.3	15.7	14.7	14.0	13.5	13.1	12.7	12.4	12.2	12.1	12.0	11.9	11.9	11.6	—	—	—	—	—
	16	B30	10	—	35.4	30.1	26.9	24.4	22.4	20.8	19.1	17.6	16.2	14.4	13.6	13.0	12.6	12.2	11.9	11.7	11.5	11.3	11.2	11.2	11.1	11.1	10.9	10.9	10.8	10.8	10.7	
	17	B34	10	—	40.1	35.0	31.8	29.4	27.6	26.1	24.5	23.0	21.8	17.9	15.6	14.4	13.6	13.0	12.5	12.1	11.8	11.5	11.4	11.3	11.2	11.1	11.1	11.1	11.0	11.0	11.0	
	18	B31	10	—	33.8	28.6	25.6	23.4	21.8	20.6	19.7	18.8	18.2	16.1	14.7	13.9	13.3	12.9	12.5	12.2	11.9	11.7	11.6	11.5	11.5	11.4	11.1	11.0	10.9	10.9	10.8	
	19	B36	10	—	35.0	30.0	27.2	25.1	23.5	22.5	21.5	20.3	19.2	16.8	15.2	14.3	13.6	13.1	12.6	12.3	12.0	11.7	11.6	11.6	11.5	11.5	11.2	11.1	11.1	11.0	10.9	
	20	B37	10	—	32.8	27.7	24.8	22.9	21.6	20.5	19.7	19.0	18.4	16.1	14.6	13.7	13.1	12.6	12.2	11.9	11.6	11.4	11.4	11.3	11.3	11.2	11.2	10.8	10.8	10.7	10.6	
	21	B32	10	—	32.4	27.1	24.1	22.0	20.5	19.4	18.5	17.8	17.3	15.3	14.2	13.5	13.1	12.7	12.3	12.1	11.8	11.6	11.6	11.5	11.5	11.4	11.4	11.3	11.2	11.1	11.0	
	22	B21	10	—	35.8	33.0	29.5	26.2	23.2	20.4	17.7	16.1	15.5	14.4	13.7	13.2	12.9	12.6	12.3	12.1	11.9	11.7	11.7	11.7	11.7	11.7	11.7	11.7	11.6	11.6	11.6	
	23	B20	10	—	30.4	25.7	22.7	20.5	18.8	17.5	16.3	15.3	14.5	13.9	13.5	13.1	12.8	12.6	12.3	12.2	12.0	11.8	11.8	11.8	11.9	11.9	11.9	11.9	11.9	11.9	11.9	
	24	B22	10	—	34.8	32.0	29.1	26.6	24.5	22.7	20.4	18.2	16.4	15.2	14.3	13.7	13.2	12.8	12.5	12.3	12.0	11.8	11.7	11.6	11.5	11.5	11.4	11.4	11.4	11.4	11.4	

A.3.2 Situation nach dem Zubau

BBS definiert Nein
 Einfluss der Orografie bewerten Ja
 Ist Vorherfall Nein

Tabelle A.3.2.1: Effektive Turbulenzintensitäten auf Nabenhöhe der jeweiligen WEA [%]

WEA				Ergebnisse																												
	Nr.	Bezeichnung	m	Alle	3	4	5	6	7	8	9	10	11	12	13	14	15	16	17	18	19	20	21	22	23	24	25	26	27	28	29	
	1	P60	10	—	35.6	32.0	29.0	26.8	25.0	23.5	21.6	19.6	17.9	16.7	15.8	15.1	14.5	14.0	13.6	13.2	12.9	12.6	12.5	12.3	12.1	12.0	—	—	—	—	—	
	2	P61	10	—	34.8	31.1	28.1	25.8	24.0	22.5	20.6	18.7	17.2	16.2	15.4	14.8	14.3	13.9	13.6	13.2	13.0	12.7	12.6	12.5	12.4	12.3	—	—	—	—	—	
	3	P62	10	—	40.4	37.8	34.5	31.5	28.9	26.6	23.4	20.1	17.4	15.6	14.6	13.9	13.5	13.1	12.9	12.7	12.5	12.3	12.3	12.3	12.3	12.3	—	—	—	—	—	
	4	P63	10	—	34.7	30.3	27.1	24.7	22.9	21.4	19.8	18.2	16.9	15.7	14.9	14.3	13.8	13.4	13.1	12.8	12.6	12.4	12.3	12.3	12.2	12.2	—	—	—	—	—	
	5	P64	10	—	39.8	37.4	34.3	31.7	29.5	27.5	24.9	21.9	19.4	17.6	16.3	15.4	14.7	14.1	13.7	13.3	13.0	12.8	12.7	12.7	12.7	12.7	—	—	—	—	—	
	6	P65	10	—	35.3	30.3	26.9	24.3	22.4	20.9	19.5	18.4	17.4	15.3	14.2	13.6	13.2	12.9	12.6	12.4	12.2	12.1	12.1	12.1	12.1	12.1	12.0	—	—	—	—	—
	7	P66	10	—	—	—	—	—	—	—	—	—	—	—	—	—	—	—	—	—	—	—	—	—	—	—	—	—	—	—	—	
	8	P40	10	—	34.8	30.9	27.7	25.2	23.2	21.4	19.3	17.3	15.9	15.0	14.3	13.9	13.5	13.1	12.8	12.6	12.3	12.1	12.1	12.0	12.0	12.0	—	—	—	—	—	
	9	P41	10	—	36.4	32.6	29.1	26.2	23.8	21.8	19.6	17.6	16.0	15.1	14.4	13.9	13.5	13.1	12.8	12.6	12.3	12.1	12.1	12.1	12.1	12.1	—	—	—	—	—	
	10	P44	10	—	37.2	33.6	30.1	27.3	25.0	23.1	21.0	19.0	17.4	16.2	15.4	14.7	14.2	13.7	13.3	13.0	12.7	12.4	12.3	12.2	12.1	12.0	—	—	—	—	—	
	11	P42	10	—	36.5	33.2	29.7	26.5	23.8	21.3	18.5	16.3	15.2	14.5	14.1	13.7	13.3	13.1	12.8	12.6	12.4	12.2	12.2	12.2	12.2	12.2	—	—	—	—	—	
	12	P45	10	—	37.7	34.3	31.1	28.4	26.1	24.2	21.9	20.0	18.8	16.6	15.3	14.6	14.1	13.7	13.3	13.1	12.9	12.7	12.6	12.6	12.6	12.6	—	—	—	—	—	
	13	P50	10	—	39.1	36.5	33.7	31.3	29.4	27.7	25.2	22.3	19.8	17.9	16.6	15.7	14.9	14.3	13.7	13.3	12.9	12.5	12.3	12.2	12.1	12.0	—	—	—	—	—	
	14	P51	10	—	40.2	37.6	34.4	31.6	29.3	27.3	24.6	22.1	20.4	17.9	16.3	15.4	14.7	14.2	13.8	13.5	13.3	13.1	13.0	12.9	12.8	12.8	—	—	—	—	—	
	15	P52	10	—	—	—	—	—	—	—	—	—	—	—	—	—	—	—	—	—	—	—	—	—	—	—	—	—	—	—	—	
	16	B30	10	—	35.9	30.6	27.2	24.7	22.7	21.0	19.4	17.8	16.4	14.7	13.9	13.4	13.0	12.7	12.4	12.1	11.9	11.7	11.7	11.7	11.6	11.6	10.9	10.9	10.8	10.8	10.7	
	17	B34	10	—	41.3	35.9	32.4	30.0	28.1	26.6	24.9	23.3	21.9	18.1	15.8	14.6	13.8	13.2	12.7	12.3	12.0	11.7	11.5	11.4	11.3	11.2	11.1	11.1	11.0	11.0	11.0	
	18	B31	10	—	—	—	—	—	—	—	—	—	—	—	—	—	—	—	—	—	—	—	—	—	—	—	—	—	—	—	—	
	19	B36	10	—	39.2	34.0	30.3	28.4	27.0	26.1	25.2	23.7	20.9	18.3	16.6	15.5	14.7	14.1	13.5	13.1	12.7	12.4	12.3	12.2	12.2	12.1	11.8	11.1	11.1	11.0	10.9	

Diese Tabelle wird auf der nächsten Seite fortgesetzt

Tabelle A.3.2.1: Effektive Turbulenzintensitäten auf Nabenhöhe der jeweiligen WEA [%]

WEA				Ergebnisse																											
	Nr.	Bezeichnung	m	Alle	3	4	5	6	7	8	9	10	11	12	13	14	15	16	17	18	19	20	21	22	23	24	25	26	27	28	29
	20	B37	10	—	32.9	27.8	24.9	22.9	21.6	20.6	19.7	19.1	18.4	16.2	14.7	13.8	13.2	12.8	12.4	12.1	11.8	11.6	11.5	11.5	11.5	11.4	10.8	10.8	10.7	10.6	
	21	B32	10	—	32.6	27.4	24.3	22.2	20.8	19.7	18.8	18.1	17.4	15.5	14.3	13.7	13.2	12.8	12.5	12.2	11.9	11.7	11.6	11.6	11.5	11.5	11.4	11.3	11.2	11.1	11.0
	22	B21	10	—	36.4	33.4	29.8	26.6	23.7	21.1	18.5	16.8	15.8	14.7	14.0	13.5	13.2	12.9	12.6	12.4	12.2	12.0	12.0	12.0	12.0	11.7	11.7	11.6	11.6	11.6	
	23	B20	10	—	34.4	31.6	29.0	26.8	25.1	23.7	21.6	19.3	17.2	15.9	14.9	14.2	13.7	13.2	12.9	12.6	12.3	12.1	12.1	12.0	11.9	11.9	11.9	11.9	11.9	11.9	
	24	B22	10	—	36.6	33.7	30.6	28.0	25.8	23.9	21.4	18.9	16.9	15.5	14.6	13.9	13.4	13.0	12.7	12.5	12.2	12.0	12.0	11.9	11.8	11.8	11.4	11.4	11.4	11.4	

Tabelle A.3.2.2: Extremwerte der Turbulenzintensität auf Nabenhöhe der jeweiligen WEA [%]

WEA				Ergebnisse																											
	Nr.	Bezeichnung	m	3	4	5	6	7	8	9	10	11	12	13	14	15	16	17	18	19	20	21	22	23	24	25	26	27	28	29	
	1	P60	10	39.5	36.0	32.5	29.8	27.6	25.8	23.5	21.0	18.9	17.4	16.3	15.5	14.9	14.6	14.4	14.1	13.9	13.7	13.7	13.7	13.7	13.7	13.7	—	—	—	—	—
	2	P61	10	38.7	36.2	33.0	30.3	28.1	26.2	23.6	20.8	18.4	16.9	16.1	15.7	15.3	15.0	14.7	14.5	14.3	14.0	14.0	14.0	14.0	14.0	14.0	—	—	—	—	—
	3	P62	10	47.5	45.1	41.3	38.0	35.3	32.9	29.6	26.0	22.8	20.5	18.9	17.7	16.7	15.9	15.3	14.8	14.3	13.9	13.6	13.3	13.0	12.9	—	—	—	—	—	
	4	P63	10	38.7	34.0	30.4	27.7	25.7	24.0	22.1	20.2	18.6	17.4	16.6	15.9	15.3	14.9	14.5	14.2	13.9	13.6	13.5	13.4	13.4	13.3	—	—	—	—	—	
	5	P64	10	45.2	42.8	39.2	36.1	33.5	31.2	28.1	24.6	21.5	19.4	17.8	16.7	15.8	15.0	14.4	13.9	13.5	13.1	12.9	12.7	12.7	12.7	—	—	—	—	—	
	6	P65	10	41.7	35.7	32.1	29.4	27.6	26.2	25.1	24.2	23.5	20.1	17.8	16.5	15.6	14.9	14.3	13.9	13.6	13.3	13.2	13.1	13.0	12.9	12.8	—	—	—	—	
	7	P66	10	—	—	—	—	—	—	—	—	—	—	—	—	—	—	—	—	—	—	—	—	—	—	—	—	—	—	—	
	8	P40	10	39.6	36.0	32.6	29.9	27.7	25.8	23.5	21.0	18.9	17.4	16.4	15.5	15.0	14.7	14.4	14.2	14.0	13.8	13.8	13.8	13.8	13.8	13.8	—	—	—	—	—
	9	P41	10	42.0	38.8	35.3	32.4	30.0	28.0	25.4	22.6	20.1	18.4	17.1	16.2	15.4	14.8	14.4	14.2	13.9	13.7	13.7	13.7	13.7	13.7	13.7	—	—	—	—	—
	10	P44	10	42.8	39.8	36.3	33.4	30.9	28.9	26.1	23.1	20.4	18.6	17.3	16.5	15.8	15.3	14.9	14.5	14.2	13.9	13.8	13.6	13.5	13.4	—	—	—	—	—	
	11	P42	10	42.0	39.9	36.6	33.6	31.2	29.1	26.1	22.7	19.8	17.7	16.4	15.6	14.9	14.4	14.0	13.7	13.4	13.2	13.2	13.2	13.2	13.2	13.2	—	—	—	—	—
	12	P45	10	43.3	40.8	37.3	34.3	31.8	29.7	26.7	23.5	21.7	18.6	17.2	16.1	15.3	14.6	14.0	13.5	13.1	12.8	12.8	12.8	12.8	12.8	12.8	—	—	—	—	—
	13	P50	10	43.4	41.2	37.7	34.7	32.2	30.0	27.0	23.6	22.2	19.2	17.1	15.9	15.1	14.4	13.9	13.6	13.4	13.1	13.0	13.0	13.0	12.9	12.8	—	—	—	—	—
	14	P51	10	46.6	44.3	40.6	37.4	34.7	32.4	29.1	25.5	22.2	20.0	18.3	17.1	16.2	15.4	14.8	14.2	13.8	13.4	13.1	13.0	13.0	13.0	13.0	—	—	—	—	—
	15	P52	10	—	—	—	—	—	—	—	—	—	—	—	—	—	—	—	—	—	—	—	—	—	—	—	—	—	—	—	

Diese Tabelle wird auf der nächsten Seite fortgesetzt

Tabelle A.3.2.2: Extremwerte der Turbulenzintensität auf Nabenhöhe der jeweiligen WEA [%]

WEA				Ergebnisse																											
	Nr.	Bezeichnung	m	3	4	5	6	7	8	9	10	11	12	13	14	15	16	17	18	19	20	21	22	23	24	25	26	27	28	29	
	16	B30	10	42.8	37.0	33.7	31.3	29.5	28.2	27.0	26.2	25.5	20.9	17.7	15.9	14.7	13.9	13.6	13.4	13.2	13.0	13.0	13.0	13.0	13.0	13.0	13.0	13.0	13.0	13.0	13.0
	17	B34	10	48.1	41.6	37.8	35.0	33.1	31.5	30.2	29.3	28.5	23.6	20.1	18.1	16.8	15.8	15.0	14.3	13.8	13.3	13.1	12.9	12.8	12.7	12.6	12.5	12.5	12.5	12.5	12.5
	18	B31	10	—	—	—	—	—	—	—	—	—	—	—	—	—	—	—	—	—	—	—	—	—	—	—	—	—	—	—	—
	19	B36	10	48.0	41.3	36.0	33.5	31.5	30.0	28.7	26.7	22.8	19.6	17.7	16.4	15.4	14.7	14.2	13.7	13.3	13.0	12.9	12.9	12.9	12.9	12.9	12.9	12.9	12.9	12.9	12.9
	20	B37	10	40.6	34.4	30.8	28.3	26.5	25.1	24.0	23.1	22.4	19.5	17.5	16.4	15.6	14.9	14.4	14.0	13.6	13.3	13.2	13.2	13.1	13.1	13.0	13.0	12.9	12.9	12.9	12.9
	21	B32	10	37.2	31.5	28.3	26.0	24.3	23.1	22.0	21.2	20.6	17.9	15.9	14.9	14.1	13.7	13.4	13.2	13.0	12.8	12.8	12.8	12.8	12.8	12.8	12.8	12.8	12.8	12.8	12.8
	22	B21	10	44.6	42.0	38.4	35.4	32.8	30.6	27.6	24.2	21.3	19.2	17.8	16.7	15.8	15.1	14.5	14.0	13.6	13.2	13.0	12.7	12.4	12.3	12.1	12.1	12.1	12.1	12.1	12.1
	23	B20	10	41.2	38.5	35.1	32.2	29.9	27.9	25.2	22.2	19.6	17.8	16.5	15.6	14.8	14.1	13.6	13.2	12.8	12.5	12.5	12.4	12.3	12.3	12.2	12.2	12.2	12.2	12.2	12.2
	24	B22	10	41.5	39.0	35.6	32.7	30.3	28.3	25.5	22.4	19.7	17.8	16.5	15.6	14.8	14.2	13.7	13.3	13.0	12.7	12.6	12.5	12.4	12.3	12.3	12.3	12.3	12.3	12.3	

Tabelle A.3.2.3: Eigenschaften und Windbedingungen der jeweiligen WEA

WEA-Eigenschaften					Nächste WEA		Ergebnisse															
	Nr.	WEA-Typ	z _{hub} [m]	D [m]	BBS	Abstand in D	Nr.	Geschützt durch BBS	I _{eff}	m [-]	Komplex	α _n [-]	φ [°]	ρ [kg/m ³]	WZ	v ₅₀ GK2 [m/s]	v ₅₀ GK1 [m/s]	A [m/s]	A _ρ kor. [m/s]	k [-]	v _{ave} [m/s]	v _{ave} ρ kor. [m/s]
	1	Vestas V150-4.0/4.2 4.2MW Mode PO1/PO1-0S	125	150	Nein	3.231	2	Nein	—	10	Nein	0.14	2.1	1.189	2/I	37.4		7.1	6.96	2.28	6.26	6.17
	2	Vestas V150-4.0/4.2 4.2MW Mode PO1/PO1-0S	125	150	Nein	2.642	10	Nein	—	10	Nein	0.14	2	1.188	2/I	37.4		7.1	6.98	2.28	6.28	6.19
	3	Vestas V150-4.0/4.2 4.2MW Mode PO1/PO1-0S	125	150	Nein	2.247	11	Nein	—	10	Nein	0.14	0.7	1.191	2/I	37.4		7	6.91	2.29	6.21	6.12
	4	Vestas V150-4.0/4.2 4.2MW Mode PO1/PO1-0S	125	150	Nein	3.494	12	Nein	—	10	Nein	0.14	1.5	1.189	2/I	37.4		7.1	6.99	2.28	6.28	6.19
	5	Vestas V150-4.0/4.2 4.2MW Mode PO1/PO1-0S	125	150	Nein	2.287	13	Nein	—	10	Nein	0.14	1.2	1.187	2/I	37.4		7.3	7.17	2.28	6.45	6.35
	6	ENERCON E-92 2.35MW	104	92	Nein	3.565	14	Nein	✓	10	Nein	0.14	2.2	1.191	2/I	36.4		6.9	6.79	2.29	6.1	6.02

Diese Tabelle wird auf der nächsten Seite fortgesetzt

Tabelle A.3.2.3: Eigenschaften und Windbedingungen der jeweiligen WEA

WEA-Eigenschaften					Nächste WEA		Ergebnisse															
	Nr.	WEA-Typ	Z _{hub} [m]	D [m]	BBS	Abstand in D	Nr.	Geschützt durch BBS	I _{eff}	m [-]	Komplex	α _n [-]	φ [°]	ρ [kg/m ³]	WZ	v ₅₀ GK2 [m/s]	v ₅₀ GK1 [m/s]	A [m/s]	A ρ _{kor.} [m/s]	k [-]	v _{ave} [m/s]	v _{ave} ρ _{kor.} [m/s]
	7	ENERCON E-126 EP3 3.5MW 3.5MW Mode BM 0s	135	127	Nein	1.299	15	Nein	—	10	Nein	0.13	1.2	1.183	2 / I	37.9		7.6	7.51	2.27	6.77	6.65
	8	Vestas V150-4.0/4.2 4.2MW Mode PO1/PO1-0S	125	150	Nein	2.835	9	Nein	—	10	Nein	0.14	2.3	1.189	2 / I	37.4		7.1	7.03	2.28	6.32	6.23
	9	Vestas V150-4.0/4.2 4.2MW Mode PO1/PO1-0S	125	150	Nein	2.835	8	Nein	—	10	Nein	0.14	1.2	1.191	2 / I	37.4		7	6.91	2.27	6.21	6.12
	10	Vestas V150-4.0/4.2 4.2MW Mode PO1/PO1-0S	125	150	Nein	2.642	2	Nein	—	10	Nein	0.14	2.2	1.189	2 / I	37.4		7	6.92	2.27	6.22	6.13
	11	Vestas V150-4.0/4.2 4.2MW Mode PO1/PO1-0S	125	150	Nein	2.247	3	Nein	—	10	Nein	0.14	0.7	1.191	2 / I	37.4		7	6.86	2.29	6.16	6.07
	12	Vestas V150-4.0/4.2 4.2MW Mode PO1/PO1-0S	125	150	Nein	2.427	5	Nein	—	10	Nein	0.14	1.3	1.188	2 / I	37.4		7.3	7.17	2.28	6.45	6.35
	13	Vestas V150-4.0/4.2 4.2MW Mode PO1/PO1-0S	125	150	Nein	2.199	14	Nein	—	10	Nein	0.14	1.6	1.186	2 / I	37.4		7.3	7.17	2.28	6.45	6.35
	14	Vestas V150-4.0/4.2 4.2MW Mode PO1/PO1-0S	125	150	Nein	2.199	13	Nein	—	10	Nein	0.14	1.8	1.187	2 / I	37.4		7.3	7.16	2.28	6.44	6.34
	15	ENERCON E-138 EP3 3.5MW Mode OM 0s	131	138.6	Nein	1.418	7	Nein	—	10	Nein	0.13	1.8	1.184	2 / I	37.7		7.5	7.39	2.27	6.66	6.55
	16	ENERCON E-82 E2 2.3MW	108.4	82	Nein	3.131	17	Nein	✓	10	Nein	0.14	0.6	1.187	2 / I	36.6		7.1	7.03	2.29	6.33	6.23
	17	ENERCON E-82 E2 2.3MW	108.4	82	Nein	2.607	13	Nein	—	10	Nein	0.14	1.7	1.187	2 / I	36.6		7.1	7.01	2.29	6.31	6.21
	18	ENERCON E-82 E2 2.3MW	108.4	82	Nein	1.601	7	Nein	—	10	Nein	0.14	0.6	1.186	2 / I	36.6		7.2	7.07	2.31	6.37	6.27
	19	ENERCON E-82 E2 2.3MW	108.4	82	Nein	2.611	7	Nein	—	10	Nein	0.14	0.7	1.186	2 / I	36.6		7.2	7.11	2.29	6.4	6.3
	20	ENERCON E-82 E2 2.3MW	108.4	82	Nein	5.042	21	Nein	✓	10	Nein	0.14	0.9	1.186	2 / I	36.6		7.2	7.12	2.28	6.41	6.31
	21	ENERCON E-82 E2 2.3MW	108.4	82	Nein	4.458	19	Nein	✓	10	Nein	0.14	0.3	1.186	2 / I	36.6		7.2	7.09	2.29	6.38	6.28
	22	ENERCON E-82 E2 2.3MW	108.4	82	Nein	2.399	12	Nein	✓	10	Nein	0.14	1.2	1.191	2 / I	36.6		6.9	6.86	2.29	6.16	6.07
	23	ENERCON E-82 E2 2.3MW	108.4	82	Nein	2.643	3	Nein	—	10	Nein	0.14	0.9	1.192	2 / I	36.6		6.8	6.7	2.31	6.02	5.94

Diese Tabelle wird auf der nächsten Seite fortgesetzt

Tabelle A.3.3.1: Effektive Turbulenzintensitäten auf Nabenhöhe der jeweiligen WEA [%]

WEA				Ergebnisse																											
	Nr.	Bezeichnung	m	Alle	3	4	5	6	7	8	9	10	11	12	13	14	15	16	17	18	19	20	21	22	23	24	25	26	27	28	29
	15	P52	4	—	—	—	—	—	—	—	—	—	—	—	—	—	—	—	—	—	—	—	—	—	—	—	—	—	—	—	—
	16	B30	4	—	35.1	29.6	26.1	23.5	21.6	20.0	18.6	17.2	16.0	15.1	14.5	14.0	13.6	13.3	13.0	12.8	12.7	12.5	12.5	12.6	12.6	12.6	10.9	10.8	10.8	10.7	10.7
	17	B34	4	—	39.1	34.0	30.7	28.4	26.7	25.2	23.5	21.5	19.5	17.4	16.1	15.2	14.5	13.9	13.4	13.0	12.5	12.1	11.9	11.7	11.5	11.3	11.0	11.0	11.0	11.0	11.0
	18	B31	4	—	—	—	—	—	—	—	—	—	—	—	—	—	—	—	—	—	—	—	—	—	—	—	—	—	—	—	—
	19	B36	4	—	36.1	31.1	28.1	26.4	25.2	24.5	23.9	22.7	20.7	18.5	17.1	16.2	15.5	14.9	14.5	14.1	13.7	13.4	13.4	13.3	13.2	13.1	12.5	11.3	11.2	11.2	11.1
	20	B37	4	—	31.1	26.0	23.0	21.1	19.7	18.8	18.0	17.3	16.7	15.3	14.3	13.7	13.3	12.9	12.6	12.4	12.2	12.0	12.1	12.1	12.1	12.1	12.0	10.7	10.7	10.6	10.5
	21	B32	4	—	32.2	26.9	23.8	21.8	20.5	19.5	18.7	18.0	17.2	15.8	14.9	14.2	13.7	13.3	12.9	12.6	12.3	12.0	11.9	11.8	11.6	11.5	11.3	11.1	11.0	10.9	10.8
	22	B21	4	—	34.1	29.6	25.9	23.0	20.6	18.8	17.3	16.3	15.5	14.7	14.2	13.8	13.4	13.2	12.9	12.7	12.6	12.4	12.4	12.4	12.4	12.3	11.7	11.6	11.6	11.6	11.6
	23	B20	4	—	32.7	28.6	25.7	23.6	22.0	20.7	19.2	17.6	16.2	15.2	14.5	14.0	13.5	13.2	12.9	12.6	12.4	12.2	12.1	12.0	12.0	12.0	11.9	11.9	11.9	11.9	11.9
	24	B22	4	—	35.3	31.3	28.1	25.6	23.5	21.8	19.8	18.0	16.5	15.4	14.6	14.0	13.6	13.3	13.0	12.8	12.6	12.5	12.5	12.4	12.3	12.3	11.4	11.4	11.4	11.4	11.4

A.3.4 Berechnungsvariante “Woehlerlinienkoeffizient m=8”

BBS definiert Nein
 Einfluss der Orografie bewerten Ja
 Ist Vorherfall Nein

Tabelle A.3.4.1: Effektive Turbulenzintensitäten auf Nabenhöhe der jeweiligen WEA [%]

WEA				Ergebnisse																											
	Nr.	Bezeichnung	m	Alle	3	4	5	6	7	8	9	10	11	12	13	14	15	16	17	18	19	20	21	22	23	24	25	26	27	28	29
	1	P60	8	—	35.4	31.6	28.7	26.4	24.7	23.3	21.5	19.5	17.9	16.7	15.8	15.1	14.5	14.1	13.6	13.3	12.9	12.6	12.5	12.3	12.2	12.1	—	—	—	—	—
	2	P61	8	—	34.6	30.6	27.6	25.3	23.5	22.1	20.4	18.6	17.2	16.2	15.5	14.9	14.4	14.0	13.6	13.3	13.1	12.8	12.7	12.6	12.5	12.4	—	—	—	—	—
	3	P62	8	—	39.3	36.5	33.1	30.2	27.7	25.3	22.3	19.2	16.8	15.3	14.4	13.8	13.4	13.1	12.9	12.6	12.5	12.3	12.3	12.3	12.3	12.3	—	—	—	—	—
	4	P63	8	—	34.5	30.1	26.9	24.5	22.7	21.2	19.6	18.1	16.8	15.7	14.9	14.3	13.8	13.4	13.1	12.8	12.6	12.4	12.3	12.3	12.2	12.2	—	—	—	—	—
	5	P64	8	—	39.4	36.8	33.7	31.2	29.1	27.2	24.6	21.8	19.3	17.6	16.4	15.5	14.8	14.3	13.8	13.5	13.2	13.0	12.9	12.9	12.8	12.8	—	—	—	—	—
	6	P65	8	—	34.8	29.8	26.3	23.7	21.8	20.2	18.9	17.7	16.7	15.0	14.1	13.6	13.2	12.9	12.7	12.4	12.2	12.1	12.1	12.1	12.1	12.1	12.0	—	—	—	—

Tabelle A.3.4.1: Effektive Turbulenzintensitäten auf Nabenhöhe der jeweiligen WEA [%]

WEA				Ergebnisse																											
	Nr.	Bezeichnung	m	Alle	3	4	5	6	7	8	9	10	11	12	13	14	15	16	17	18	19	20	21	22	23	24	25	26	27	28	29
	7	P66	8	—	—	—	—	—	—	—	—	—	—	—	—	—	—	—	—	—	—	—	—	—	—	—	—	—	—	—	—
	8	P40	8	—	34.5	30.3	27.1	24.6	22.6	20.8	18.8	17.0	15.7	14.9	14.3	13.8	13.4	13.1	12.8	12.5	12.3	12.1	12.1	12.0	12.0	12.0	—	—	—	—	—
	9	P41	8	—	36.0	32.0	28.5	25.6	23.3	21.3	19.2	17.3	15.9	15.0	14.4	13.9	13.5	13.1	12.8	12.6	12.3	12.1	12.1	12.1	12.1	12.1	—	—	—	—	—
	10	P44	8	—	36.7	32.9	29.4	26.6	24.4	22.6	20.6	18.7	17.2	16.1	15.3	14.7	14.1	13.7	13.3	13.0	12.6	12.4	12.3	12.2	12.1	12.0	—	—	—	—	—
	11	P42	8	—	36.0	32.4	28.7	25.6	22.8	20.4	17.9	16.1	15.1	14.5	14.0	13.7	13.3	13.1	12.8	12.6	12.4	12.2	12.2	12.2	12.2	12.2	—	—	—	—	—
	12	P45	8	—	37.4	33.7	30.4	27.8	25.6	23.7	21.6	19.8	18.5	16.5	15.3	14.6	14.1	13.7	13.4	13.2	13.0	12.8	12.8	12.7	12.7	12.7	—	—	—	—	—
	13	P50	8	—	38.9	36.0	33.1	30.8	28.9	27.4	25.0	22.2	19.8	18.0	16.7	15.8	15.0	14.4	13.8	13.4	13.0	12.6	12.4	12.2	12.1	12.0	—	—	—	—	—
	14	P51	8	—	39.5	36.6	33.4	30.7	28.6	26.6	24.2	21.9	20.3	18.0	16.4	15.5	14.9	14.4	14.0	13.7	13.5	13.3	13.2	13.2	13.1	13.1	—	—	—	—	—
	15	P52	8	—	—	—	—	—	—	—	—	—	—	—	—	—	—	—	—	—	—	—	—	—	—	—	—	—	—	—	—
	16	B30	8	—	35.4	30.1	26.6	24.1	22.2	20.5	18.9	17.4	16.0	14.7	14.0	13.5	13.1	12.7	12.5	12.2	12.0	11.9	11.8	11.8	11.8	11.8	10.9	10.9	10.8	10.8	10.7
	17	B34	8	—	40.5	35.3	31.9	29.5	27.6	26.1	24.3	22.5	20.9	17.6	15.7	14.6	13.9	13.3	12.8	12.4	12.1	11.7	11.6	11.4	11.3	11.2	11.1	11.1	11.0	11.0	11.0
	18	B31	8	—	—	—	—	—	—	—	—	—	—	—	—	—	—	—	—	—	—	—	—	—	—	—	—	—	—	—	—
	19	B36	8	—	38.2	33.1	29.6	27.8	26.4	25.5	24.7	23.3	20.7	18.2	16.6	15.6	14.8	14.1	13.6	13.2	12.9	12.6	12.5	12.4	12.3	12.2	11.9	11.1	11.1	11.0	10.9
	20	B37	8	—	32.2	27.1	24.2	22.3	21.0	20.0	19.2	18.5	17.9	15.8	14.5	13.7	13.2	12.7	12.4	12.1	11.9	11.7	11.6	11.6	11.6	11.6	11.5	10.8	10.7	10.7	10.6
	21	B32	8	—	32.4	27.1	24.1	22.0	20.6	19.5	18.7	17.9	17.2	15.5	14.4	13.7	13.3	12.9	12.5	12.2	12.0	11.7	11.7	11.6	11.5	11.4	11.3	11.2	11.2	11.1	10.9
	22	B21	8	—	35.4	32.1	28.5	25.4	22.5	20.1	18.0	16.5	15.7	14.7	14.0	13.6	13.2	12.9	12.7	12.4	12.3	12.1	12.1	12.1	12.0	12.0	11.7	11.7	11.6	11.6	11.6
	23	B20	8	—	33.7	30.6	28.0	25.9	24.3	22.9	20.9	18.8	16.9	15.7	14.8	14.1	13.6	13.2	12.9	12.6	12.3	12.1	12.1	12.0	11.9	11.9	11.9	11.9	11.9	11.9	11.9
	24	B22	8	—	36.1	33.0	29.9	27.3	25.2	23.3	20.9	18.6	16.8	15.4	14.5	13.9	13.4	13.1	12.8	12.5	12.3	12.1	12.1	12.0	11.9	11.9	11.4	11.4	11.4	11.4	11.4

A.3.5 Berechnungsvariante “Betriebsbeschränkungen”

BBS definiert Ja
 Einfluss der Orografie bewerten Ja
 Ist Vorherfall Nein

Tabelle A.3.5.1: Effektive Turbulenzintensitäten auf Nabenhöhe der jeweiligen WEA [%]

WEA				Ergebnisse																												
	Nr.	Bezeichnung	m	Alle	3	4	5	6	7	8	9	10	11	12	13	14	15	16	17	18	19	20	21	22	23	24	25	26	27	28	29	
	1	P60	10	—	35.6	29.5	24.2	21.8	21.5	19.9	19.1	17.8	17.4	16.7	15.8	15.1	14.5	14.0	13.6	13.2	12.9	12.6	12.5	12.3	12.1	12.0	—	—	—	—	—	
	2	P61	10	—	34.8	29.9	23.5	21.3	20.7	20.1	19.1	17.5	17.2	16.2	15.4	14.8	14.3	13.9	13.6	13.2	13.0	12.7	12.6	12.5	12.4	12.3	—	—	—	—	—	
	3	P62	10	—	32.9	27.9	24.6	22.2	20.3	18.7	19.1	17.2	17.4	15.6	14.6	13.9	13.5	13.1	12.9	12.7	12.5	12.3	12.3	12.3	12.3	12.3	—	—	—	—	—	
	4	P63	10	—	34.7	29.8	25.5	23.2	21.7	20.2	19.1	18.2	16.9	15.7	14.9	14.3	13.8	13.4	13.1	12.8	12.6	12.4	12.3	12.3	12.2	12.2	—	—	—	—	—	
	5	P64	10	—	34.5	28.8	25.6	23.3	21.5	20.0	19.0	18.3	17.6	16.4	16.3	15.4	14.7	14.1	13.7	13.3	13.0	12.8	12.7	12.7	12.7	12.7	—	—	—	—	—	
	6	P65	10	—	35.3	30.3	26.9	24.3	22.4	20.9	19.5	18.4	17.4	15.3	14.2	13.6	13.2	12.9	12.6	12.4	12.2	12.1	12.1	12.1	12.1	12.1	12.0	—	—	—	—	—
	7	P66	10	—	41.9	34.2	29.9	26.9	24.8	23.2	22.0	21.0	20.1	18.4	16.0	14.9	14.2	13.7	13.3	12.9	12.6	12.3	12.2	12.2	12.1	12.0	11.7	—	—	—	—	—
	8	P40	10	—	34.8	29.0	25.8	23.3	21.3	20.3	18.9	17.3	15.9	15.0	14.3	13.9	13.5	13.1	12.8	12.6	12.3	12.1	12.1	12.0	12.0	12.0	—	—	—	—	—	
	9	P41	10	—	35.8	32.1	28.7	25.8	23.4	21.5	19.3	17.4	16.0	15.1	14.4	13.9	13.5	13.1	12.8	12.6	12.3	12.1	12.1	12.1	12.1	12.1	—	—	—	—	—	
	10	P44	10	—	36.0	27.8	24.6	22.4	21.7	20.3	19.2	17.8	17.4	16.2	15.4	14.7	14.2	13.7	13.3	13.0	12.7	12.4	12.3	12.2	12.1	12.0	—	—	—	—	—	
	11	P42	10	—	36.5	29.7	26.2	23.5	21.1	20.3	18.5	16.3	15.2	14.5	14.1	13.7	13.3	13.1	12.8	12.6	12.4	12.2	12.2	12.2	12.2	12.2	—	—	—	—	—	
	12	P45	10	—	34.2	29.1	26.0	23.8	22.2	20.9	19.8	19.0	18.3	16.0	14.6	13.8	13.3	13.0	12.7	12.4	12.2	12.1	12.1	12.0	12.0	12.0	—	—	—	—	—	
	13	P50	10	—	36.7	33.0	29.7	26.9	24.5	22.4	20.1	18.1	16.6	15.2	14.3	13.8	13.3	13.0	12.7	12.4	12.2	12.0	12.0	11.9	11.9	11.9	—	—	—	—	—	
	14	P51	10	—	39.9	37.4	34.1	31.4	29.1	27.0	24.3	21.7	20.1	17.5	15.7	14.7	13.9	13.3	12.9	12.5	12.3	12.0	12.0	11.9	11.8	11.8	—	—	—	—	—	
	15	P52	10	—	36.8	31.3	28.1	25.7	24.1	22.7	21.6	20.6	19.9	17.4	15.8	14.9	14.2	13.7	13.3	13.0	12.7	12.4	12.4	12.3	12.2	12.2	11.6	—	—	—	—	—
	16	B30	10	—	35.9	30.6	27.2	24.7	22.7	21.0	19.4	17.8	16.4	14.7	13.9	13.4	13.0	12.7	12.4	12.1	11.9	11.7	11.7	11.7	11.6	11.6	10.9	10.9	10.8	10.8	10.7	
	17	B34	10	—	40.1	35.0	31.9	29.5	27.7	26.2	24.6	23.1	21.8	18.0	15.6	14.4	13.6	13.0	12.6	12.2	11.8	11.6	11.4	11.3	11.2	11.2	11.1	11.1	11.0	11.0	11.0	
	18	B31	10	—	33.9	28.7	25.7	23.5	21.8	20.7	19.7	18.8	18.2	16.1	14.8	14.0	13.5	13.0	12.7	12.4	12.1	11.9	11.8	11.7	11.7	11.6	11.1	11.0	10.9	10.9	10.8	
	19	B36	10	—	39.2	34.0	29.3	26.7	24.7	23.3	22.0	20.8	20.0	18.3	16.6	15.5	14.7	14.1	13.5	13.1	12.7	12.4	12.3	12.2	12.2	12.1	11.8	11.1	11.1	11.0	10.9	
	20	B37	10	—	32.9	27.8	24.9	22.9	21.6	20.6	19.7	19.1	18.4	16.2	14.7	13.8	13.2	12.8	12.4	12.1	11.8	11.6	11.6	11.5	11.5	11.5	11.4	10.8	10.8	10.7	10.6	
	21	B32	10	—	32.6	27.4	24.3	22.2	20.8	19.7	18.8	18.1	17.4	15.5	14.3	13.7	13.2	12.8	12.5	12.2	11.9	11.7	11.6	11.6	11.5	11.5	11.4	11.3	11.2	11.1	11.0	
	22	B21	10	—	36.4	33.4	29.8	26.6	23.7	21.1	18.5	16.8	15.8	14.7	14.0	13.5	13.2	12.9	12.6	12.4	12.2	12.0	12.0	12.0	12.0	12.0	11.7	11.7	11.6	11.6	11.6	
	23	B20	10	—	34.4	31.6	29.0	26.8	24.9	22.0	21.6	19.3	17.2	15.9	14.9	14.2	13.7	13.2	12.9	12.6	12.3	12.1	12.1	12.0	11.9	11.9	11.9	11.9	11.9	11.9	11.9	

Diese Tabelle wird auf der nächsten Seite fortgesetzt

Tabelle A.3.5.1: Effektive Turbulenzintensitäten auf Nabenhöhe der jeweiligen WEA [%]

WEA				Ergebnisse																											
	Nr.	Bezeichnung	m	Alle	3	4	5	6	7	8	9	10	11	12	13	14	15	16	17	18	19	20	21	22	23	24	25	26	27	28	29
	24	B22	10	—	36.6	33.7	29.2	26.6	24.6	23.3	21.4	18.9	16.9	15.5	14.6	13.9	13.4	13.0	12.7	12.5	12.2	12.0	12.0	11.9	11.8	11.8	11.4	11.4	11.4	11.4	11.4



A.4 Legende

Erläuterung der Begriffe		
	Geplante WEA	WEA, deren Standorteignung im Rahmen des Gutachtens zu bewerten ist.
	Benachbarte WEA	Alle weiteren WEA, die vom Auftraggeber übermittelt wurden. Es ist dabei unerheblich, ob sich einzelne benachbarte WEA ebenfalls in Planung oder Bau befinden. Entscheidend ist die Windparkkonfiguration, die als Vorbelastung für die geplanten WEA zu unterstellen ist. Alle benachbarten WEA gehen in die Berechnungen ein.
	Inaktive WEA	WEA, die nicht als Vorbelastung zu berücksichtigen sind und daher nicht in die Berechnungen eingehen. Diese WEA werden in der Regel nicht im Gutachten aufgeführt.
	Betrachtete WEA	Für alle betrachteten WEA werden Ergebnisse ausgewiesen und abschließende Aussagen getroffen.
	Windpark	Der Begriff wird im Sinne des Anhangs A der DIBt-Richtlinie von 2004 verwendet und umfasst "geplante" und "benachbarte" WEA.
	Referenzpunkt der Winddaten	Jeweiliger Standort, auf dessen Koordinaten sich die verwendeten Winddaten beziehen.

Farbliche Zuordnung der Symbole	
	Geplante WEA
	Benachbarte WEA, die aufgrund ihres Abstandes zu den geplanten WEA zu betrachten sind.
	Benachbarte WEA, die aufgrund ihres Abstandes zu den geplanten WEA nicht zu betrachten sind, die aber Einfluss auf die zu betrachtenden WEA () ausüben. Diese WEA sind eventuell nur zum Teil in der Kartendarstellung abgebildet.
	Benachbarte WEA, die aufgrund ihres Abstandes zu den geplanten WEA nicht zu betrachten sind und die keinen Einfluss auf die zu betrachtenden WEA () ausüben. Diese WEA sind eventuell nur zum Teil in der Kartendarstellung abgebildet.
	Inaktive WEA.
	Referenzpunkte der Winddaten.
	Referenzpunkt der Winddaten auf den Koordinaten einer (in diesem Fall geplanten) WEA.

A.5 Abkürzungen und Formelzeichen

WEA	Windenergieanlage	D	Rotordurchmesser	[m]
DIBt	Deutsches Institut für Bautechnik	z_{hub}	Nabenhöhe der WEA	[m]
IEC	Internationale Elektrotechnische Kommission	P_N	Nennleistung der WEA	[MW]
BImSchG	Bundes-Immissionsschutzgesetz	c_T	Schubbeiwert des Rotors	[-]
NTM	Normales Windturbulenzmodell	I_{eff}	Effektive Turbulenzintensität	[-]
DLC	Auslegungslastfall	A	Skalierungsparameter der Weibull-Verteilung	[m/s]
PD	Potsdam-Datum	k	Formparameter der Weibull-Verteilung	[-]
ETRS89	Europäisches Terrestrisches Referenzsystem 1989	h	Höhe über Grund	[m]
UTM	Universale Transversale Mercator Projektion	m	Wöhlerlinienkoeffizient	[-]
WGS84	World Geodetic System 1984	v	Windgeschwindigkeit	[m/s]
WZ	Windzone	v_{ave}	Jahresmittel der Windgeschwindigkeit auf Nabenhöhe	[m/s]
BBS	Betriebsbeschränkung	v_{ref}	Referenz-Windgeschwindigkeit (Auslegungswert für v_{50})	[m/s]
LR	Lastrechnung	v_{50}	10-min-Mittel der extremen Windgeschwindigkeit auf Nabenhöhe mit einem Wiederkehrzeitraum von 50 Jahren	[m/s]
GK	Geländekategorie	v_r	Nennwindgeschwindigkeit der WEA	[m/s]
üNN	über Normal-Null	v_{in}	Einschaltwingsgeschwindigkeit der WEA	[m/s]
		v_{out}	Abschaltwingsgeschwindigkeit der WEA	[m/s]
		α_n	Höhenexponent des vertikalen Windgeschwindigkeitsprofils für neutrale Schichtung	[-]
		φ	Neigung der Anströmung	[°]
		β	Blattwinkelverstellung	[°]
		γ_{start}	Startwinkel der BBS	[°]
		γ_{stop}	Endwinkel der BBS	[°]
		v_{start}	Startwindgeschwindigkeit der BBS	[m/s]
		v_{stop}	Startwindgeschwindigkeit der BBS	[m/s]
		ρ	Mittlere Luftdichte	[kg/m ³]
		τ_{design}	Entwurfslebensdauer in Jahren	[a]
			Altgrad (Vollkreis = 360°)	[°]